

جامعة دمشق

كلية الهندسة المدنية

قسم الهندسة الإنشائية

مدينة دمشق

استخدام الطرق العددية والحاسب الإلكتروني في تعين الوضعية الإجهادية الناتجة عن الزحف والإيكماش في العناصر البيتونية المسنحة

الدكتورة المهندسة نهى محفوظ
عضو هيئة تدريسية في جامعة دمشق
كلية الهندسة المدنية

الملخص

يهدف هذا البحث إلى دراسة تطور الوضعية الإجهادية لعناصر البeton المسلح والبيتون مسبق الإجهاد، وذلك باستخدام الطرق العددية و الحاسوب الإلكتروني لقياس تشوهات الزحف تحت تأثير الأحمال الثابتة، وتحت تأثير سويات مختلفة من الإجهادات، وذلك من أجل تحريم الوضع الراهن للمنتشرات المتتصدة وتحديد الزمن الآمن لمعالجتها .

وخصص هذا البحث لعرض الطريقة العددية في تعين الوضعية الإجهادية في العناصر البيتونية المساحة الناتجة عن الإنكمash والزحف، وأندرجت الفرضيات والأسس المعتمدة في هذه الطريقة، ومحظط منهاجي لهذه الدراسة. وقد درست باعتماد برامج حاسوبية و باعتماد الكود الأوروبي وضعية الأعمدة المنفذة من أنواع مختلفة من البeton والمعرضة لسويات مختلفة للإجهاد والمنفذة باعتماد نسب مختلفة للتصليح. خلصت هذه الدراسة لتعيين المدة الزمنية المناسبة لتنفيذ أعمال تدعيم منشآت معرضة لاجهادات عالية. كما درست العناصر المعرضة للضغط الامرکزي المتسلقة أو غير المتسلقة.

الكلمات المفتاحية: الخرسانة (البيتون) المساحة، الزمن، الزحف الخطي واللاخطي، الإنكمash، المنشآت المتتصدة.

١- مقدمة:

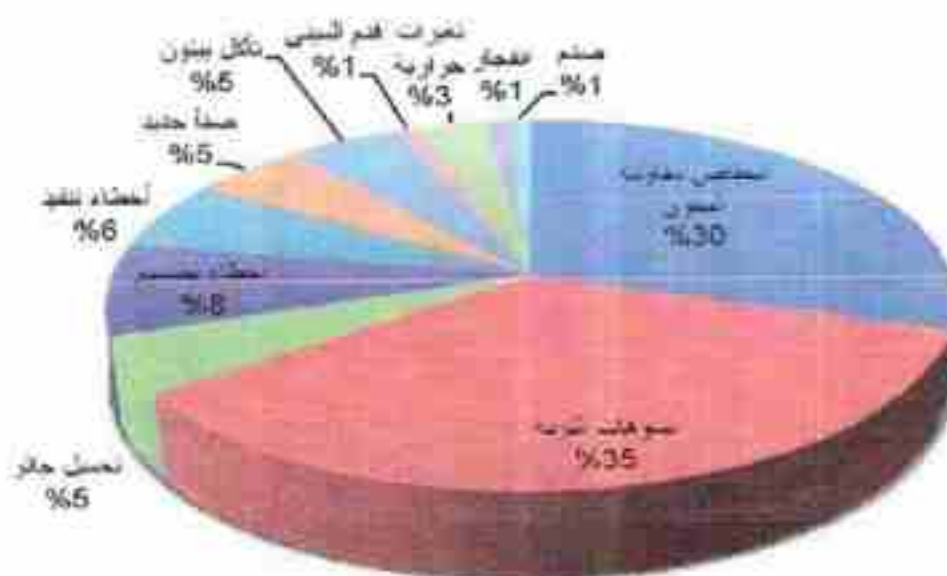
أولت مراكز بحوث البيتون في العالم اهتماماً بالغاً لظاهرة الزحف منذ بداية استخدام البيتون المسلحة، إلا أن اهتمامها ينصب بشكل رئيسي على الزحف الخطي المرافق لاجهادات قريبة من إجهادات التشغيل، وهناك بحوث محدودة للزحف اللاخطي [1-4-7].

تعد ظاهرة الزحف بالرغم من أهميتها غير مدروسة تجريرياً في جامعات ومراكز البحث المحلية وذلك بسبب نقص التجهيزات التجريبية و لأنها تحتاج إلى مدد طويلة في دراستها ، ويتناولها الكود العربي السوري بشكل محدود، معتمداً نسخاً قديمة من الكوبات العالمية التي هي في تطور دائم، معتمدة نماذج رياضية مختلفة للتبيّن يقيم الإنكماش والزحف مرتبطة بقيم مقاومة البيتون وتركيب خلطته وأبعاد العنصر ، وبالظروف المناخية المحيطة و عمر البيتون عند التحميل، ومدة التحميل وسوية الإجهادات المطبقة [10].

وأخذت النماذج المعتمدة للتبيّن عن الزحف صيغ رياضية معقدة مما جعل أسلوب تقسيم الزمن إلى مراحل زمنية صغيرة، واستخدام الطرق العددية في تعين الوضعية الإجاهادية التشوّهية للعناصر البetonية المسلحة السليمة أو المتصدعة هو الأسلوب الأفضل[3-5-6].

٢- أهمية البحث:

تتجلى أهمية هذا البحث من خلال حوادث سجلت لحالات انهيار منشآت في القطر العربي السوري والعالم في مرحلة الاستثمار، وتحت تأثير أحمال ثابتة وأخرى لبعض حالات التصدع التي تتطلب معالجة، والتي من المتوقع أن يتزايد عددها نظراً لانتشار الكبير للمنشآت العشوائية، والتي تزيد نسبتها عن ٦٣٪ من المنشآت القائمة فضلاً عن قدم العديد من المنشآت وتجاوز عمرها الافتراضي، وتعرض بعض المنشآت لزيادة عدد الطوابق أو أحمال شاذة أو تغير في مواصفات تربة التأسيس (كترب العباءة التي أدت إلى تصدعات وخروج مجموعة من أعمدة البناء عن العمل) .



الشكل (١) توزع أسلوب الانبعاثات والتصدعات في موريه

٣- استخدام الطرق العددية في تعين الوضعية الإجهادية الناتجة عن الزحف والإكماش في العناصر البيتونية المصلحة :

إن مبدأ استخدام الطرق العددية والحاسب الإلكتروني بعد الأفضل في دراسة المنشآت الهندسية بعد اعتماد نموذج رياضي يمثل هذه المنشآت هو الأفضل .

تصنف هذه المسائل كما يلي :

- ١- دراسة الوضعية الإجهادية الناتجة عن الزحف والإكماش في المنشآت البيتونية الصالحة غير المقررة ولم يتطرق لها هذا البحث .
- ٢- دراسة الوضعية الناتجة عن الزحف والإكماش في العناصر التي تؤول إلى وضعية ضغط مركزي أو لا مركزي، وتنقري عن هذه الدراسة المواجهة التالية :

 - ٢ . ١- دراسة الوضعية الإجهادية الناتجة عن الإكماش في العناصر غير متانترة التسلیح .
 - ٢ . ٢- دراسة الإجهادات الناظمية في البeton والفولاد وتغيرها مع الزمن في العناصر غير المتانترة التسلیح والمعرضة لوضعية ضغط لا مركزي، وذلك باعتبار الزحف الخطى والزحف اللاخطى.
 - ٢ . ٣- دراسة الضياعات في الإجهادات في العناصر المسماة الإجهاد غير متانترة التسلیح وذلك باعتبار الزحف الخطى واللاخطى وباعتبار الإكماش .
 - ٢ . ٤- دراسة تطور الإجهادات الناظمية في العناصر السابقة وذلك في مقطع عرضي بعد تشكيل شق شاقولي فيه .

- ٢ . ٥ - دراسة ضياع الإجهادات في التسليح السبق الإجهاد في العناصر متاظرة أو غير متاظرة التسليح والذاتية عن الزحف والإكمام .

٤ - الفرضيات الأساسية المعتمدة:

- ١ - تعتبر التشوّهات الآتية للبيتون والذاتية عن تطبيق القوى الخارجية تشوّهات مرنة .
- ٢ - يقسم المجال الزمني T إلى مجموعة من المجالات الصغيرة Δt
- ٣ - تعتبر القوى الخارجية والداخلية ثابتة عند دراسة كل من المجالات Δt
- ٤ - تحسب التشوّهات الذاتية عن الزحف بعد استبدال التابع (t) لمجموعة من القيم الثانية لـ الإجهادات (t) $\Delta \sigma_i$ وباعتبار قياس الزحف لكل من هذه القيم ومع اعتبار زمن تأثيرها على العنصر $(t, t + \Delta t)$ وذلك من الصيغة .

$$\sum_{t_1}^{t_2, K=t} C(t_1, t) \Delta \sigma_i, \quad (1)$$

في حالة الزحف الخطى .

وونفق الصيغة .

$$\sum C(t_1, t) \Delta f(\Delta \sigma_i) \quad (2)$$

في حالة الزحف اللاخطى .

- ٥ - تحسب التشوّهات الكلية في العنصر بمرحلة معينة كمجموع لتشوّهات الزحف والتشوّهات الآتية المرنة إضافة إلى التشوّهات الذاتية عن الإكمام حتى الزمن المدروس وذلك من الصيغة .

$$\Delta \epsilon(t) = \frac{\sum \sigma}{E(t)} + \sum c(t, t) \Delta \sigma_i + \epsilon_{\infty}(t) \quad (3)$$

- ٦ - يحسب تزايد التشوّهات في مرحلة زمنية معينة Δt بدلالة الفرق بين التشوّهات الكلية المحسوبة في بداية المجال الزمني t وفي نهايته $t + \Delta t$ ومع اعتبار التشوّهات اللاخطية وتزايد عامل المرونة مع الزمن .

- ٧ - تستبدل العناصر المعرضة إلى وضعية إجهادية والتي تؤول إلى وضعية ضغط لا مركزى لنموذج رياضي مؤلف من مجموعة متوازية من الشرائط عددها j .

- ٨ - تطبق على النموذج الرياضي تشوّهات قصوية تساوى تزايد تشوّهات الزحف في المرحلة الزمنية Δt وكل شريحة من شرائط المقطع العرضي والذاتية عن الزحف الخطى في الشرائط المعرضة لإجهادات

منخفضة ورمح لا خطى في الشريان المعرضة لاجهادات عالية وتحسب قوة التشتت N_{fix} وعزم التشتت M_{fix} والاجهادات الناتجة عن التحرير وتزايد الاجهادات الذاتية $\Delta\sigma$ وتحقق من أن مخطط تزايد الاجهادات الذاتية متوازنة

- ٩- ننتقل إلى دراسة فترة زمنية جديدة $\Delta t = 1/10$ وتعين تشوّهات الرمح في هذه المرحلة وفق العلاقة ٤.
- ١٠- تعين الاجهادات في نهاية الزمن المدروس في كل من عناصر النموذج الرياضي كمجموع لاجهادات الابتدائية الناتجة عن الرمح في جميع المراحل الزمنية المدروسة.

٥- برنامج دراسة تغير الوضعية الإجهادية في العناصر المسبقة للجهاد مع الزمن:

يعتبر العنصر معرضاً للانعطاف البسيط وهو منفذ يتسلّح على مسبق للجهاد وتسلّح سقلي مسبق للجهاد وتسلّح آخر غير مسبق للجهاد .
و يدرس العنصر وفق المراحل السابقة الخاصة بعنصر بيتوبي مسلح معرض للضغط الامرکزي مع اعتبار الصياغات في مسبق للجهاد في كل مرحلة زمنية Δt

٦- الطريقة العددية في تعين الوضعية الإجهادية في العناصر البيتونية المسلحة الناتجة عن الرمح والإكمانش:

دراسة برنامج حاسوبي يعتمد الطريقة العددية والمخطط المتدرج المعين في الشكل (٢) وتعين تشوّهات الرمح والإكمانش وفق النموذج الأوروبي للتباين بالرمح والإكمانش CEB-99 [2-4] وحساب تشوّهات الرمح الخطى وفق الصيغة المعتمدة في الكود الأوروبي CEB-99

$$\varphi(t, t_0) = \varphi_0 \beta_c(t, t_0) \quad (4)$$

φ_0 : معامل السيلان الاسمي

$\beta_c(t, t_0)$: تابع يصف العلاقة ما بين السيلان والزمن بعد التحميل

و يتم حساب تشوّهات الرمح الالخطي وفق الصيغة المعتمدة في الكود الأوروبي CEB-99

$$\varphi_{0,c} = \varphi_0 \exp(1.5(k_c - 0.4)) \quad (5)$$

φ_0 : معامل السيلان في حالة الاجهادات العالية.

$k_c = K_c/f_c$: سوية الاجهادات في لحظة تطبيق القوة

واعتماد تزيلد عامل العرونة مع الزمن وفق الصيغة:

$$E_e(t) = E_e \cdot \exp \left[\frac{s}{2} \left(1 - \sqrt{\frac{28}{t/t_1}} \right) \right] \quad (6)$$

s: عامل يعتمد على نوع الإسمنت ومقاومة البيتون على الضغط ويؤخذ من الجدول (١):

الجدول (١) التابع s حسب المعدلة رقم (٦)

fcm (Mpa)	نوع الإسمنت	s
≤ 60	RS	0.20
	N, R	0.25
	SL	0.38
> 60	جميع الأنواع	0.20

- إسمنت عالي المقاومة سريع التصلب.

- إسمنت عادي وسريع التصلب.

- إسمنت بطيء التصلب.

تمت دراسة مجموعة كبيرة من الحالات الخاصة للاعتمدة القصيرة البيرتونية المسلحة المعرضة للضغط المركزي و تم اعتماد نسب تسلیح تساوي $\mu = 0.01$ ، $\mu = 0.02$ ، $\mu = 0.03$ ، $\mu = 0.04$ ، $\mu = 0.05$ واعتمدت مقاومة البيرتون المميزة متساوية : $f_c' = 150, 200, 250, 300, 350, 400 \text{ kg/cm}^2$

واختبر عمر البيرتون عند التحميل يساوي إلى ١٠ أيام أو ٢٨ يوماً أو ٣٦٠ يوماً واعتمدت سويات مختلفة للإجهادات في العنصر

$$\sigma / f_c' = 0.3, 0.35, 0.4, 0.45, 0.5, 0.55, 0.6, 0.65, 0.7, 0.75, 0.8, 0.85, 0.9, 0.95$$

واعتبار أن انهيار العمود يحدث في الحالات التالية:

- بلوغ التشوهات الطولية النسبية في العمود مساوية ٠٠١ ، في الأعمدة المسلحة يتليج الملس عامل مرونته $E = 2.1 \times 10^6 \text{ kg/cm}^2$ وحد الزحف فيه $f = 2400 \text{ kg/cm}^2$ ، نظرًا لاستخدام التليج الملس بشكل واسع في المعثبتات البيوتونية المسلحة حتى الستينيات من القرن الماضي.
- بلوغ التشوهات النسبية في العمود ٠٠٢ لأن ذلك سبب في التليج إجهادات قريبة من حد الزحف الأصطلاحي $\sigma = 4400 \text{ kg/cm}^2$.
- بلوغ التشوهات النسبية في العمود ٠٠٣ لأن ذلك يمثل الحد الأقصى لتشوهات البيتون المرافقة للانهيار.

تم حساب قيم الإجهادات المتناقصة لكل حالة في البيتون مع الزمن بدءً من التحميل وكذلك قيم الإجهادات المتزايدة في الفولاذ وقيم تشوهات الإنكماش المتزايدة وكذلك تشوهات الزحف والتشوهات الكلية لمجموع التشوهات المرنة وتشوهات الزحف وتشوهات الإنكماش وكذلك مع اعتبار تزايد عامل المرونة في البيتون.

ومن دراسة هذه النتائج يمكن تأكيد ما يلي:

- إن زيادة نسبة التليج تؤدي إلى اطالة العمر الآمن وتخفيف تأثير الزحف والإلكماش.
- إن الإجهادات العالية $f/\sigma = 0.9 - 0.85$ غير آمنة وتسبب انهيار في العنصر بعد فترة قصيرة (يوم أو عدة أيام).
- إن العمر الآمن في العناصر المنفذة من البيتون على مقاومة أصغر منه في تلك المنفذة من بيتون منخفض مقاومته وذلك بالنسبة لسوية متماثلة للإجهادات بالنسبة لمقاومة الممزوة.
- إن التحميل في عمر مبكر ١٠ أيام يؤدي إلى تخفيف العمر الآمن.
- إن التحميل في عمر كبير ٣٦٠ يوم لا ينفي خطورة تطبيق إجهادات عالية.

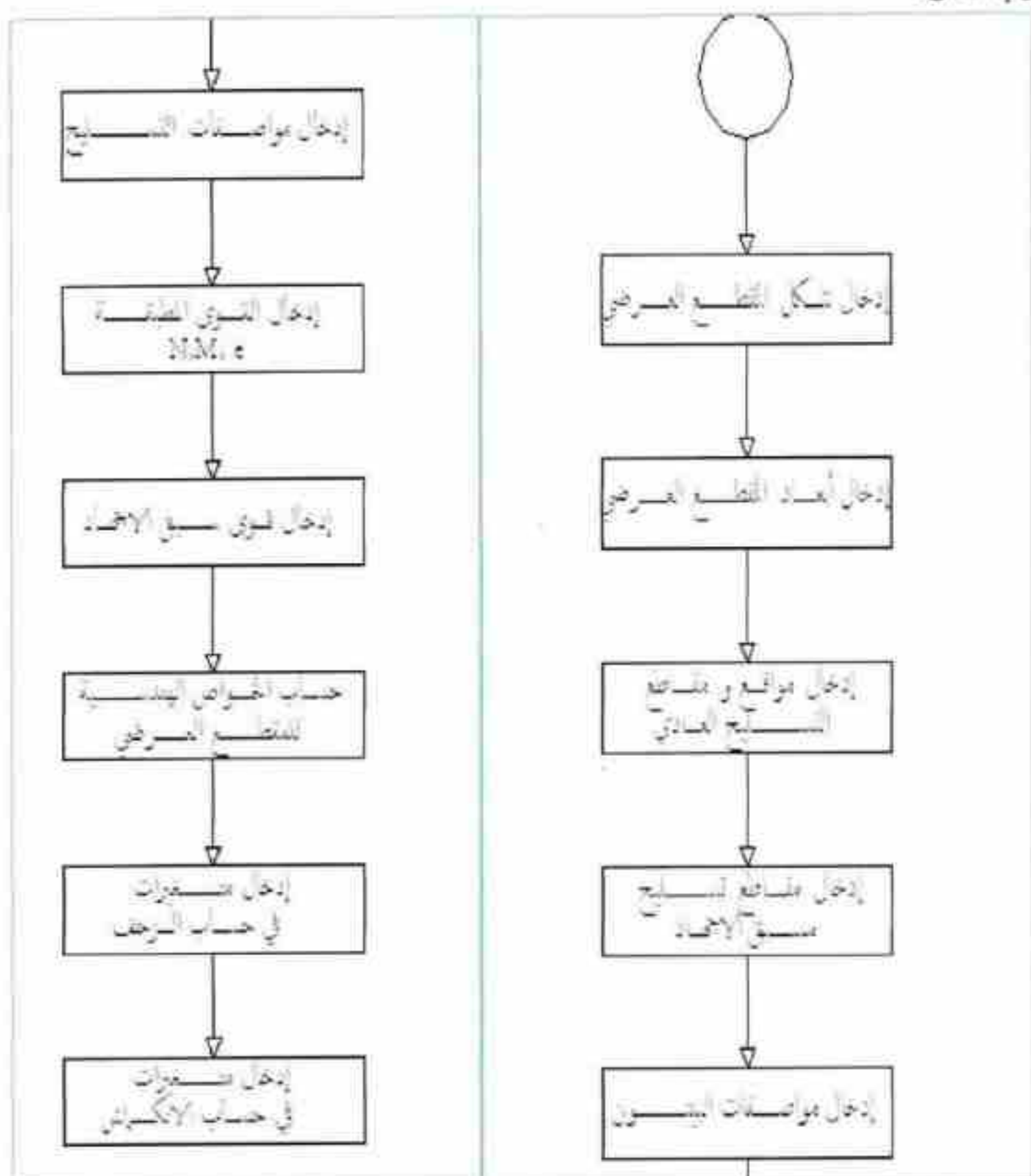
ولقد تبين من هذه الدراسة :

- إن الزمن الآمن للأعمدة المعرضة إلى سوية عالية للإجهاد لا يتعدى عدداً من الساعات.
- إن الأعمدة المعرضة إلى سوية إجهادات ذاتها عن الحمولات الفعلية وغير المصعدة تساوي

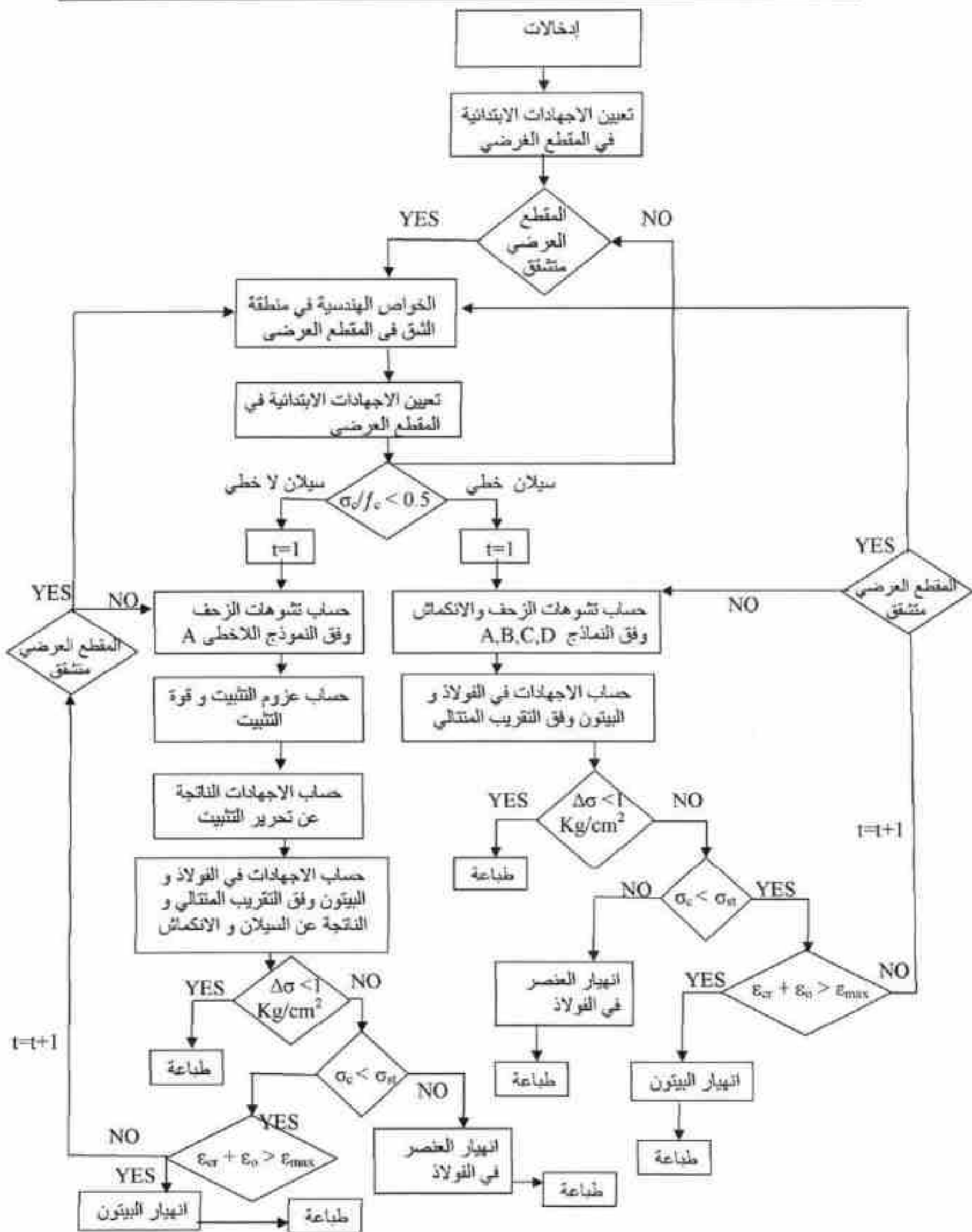
$$\sigma/f = 0.7, 0.75, 0.8, 0.85, 0.9, 0.95$$

هي ملحوظات غير آمنة ولا بد من تدعيمها ويسمح الزمن الآمن بتنفيذ تدعيم مؤقت فيها ومن ثم تدعيم دائم.

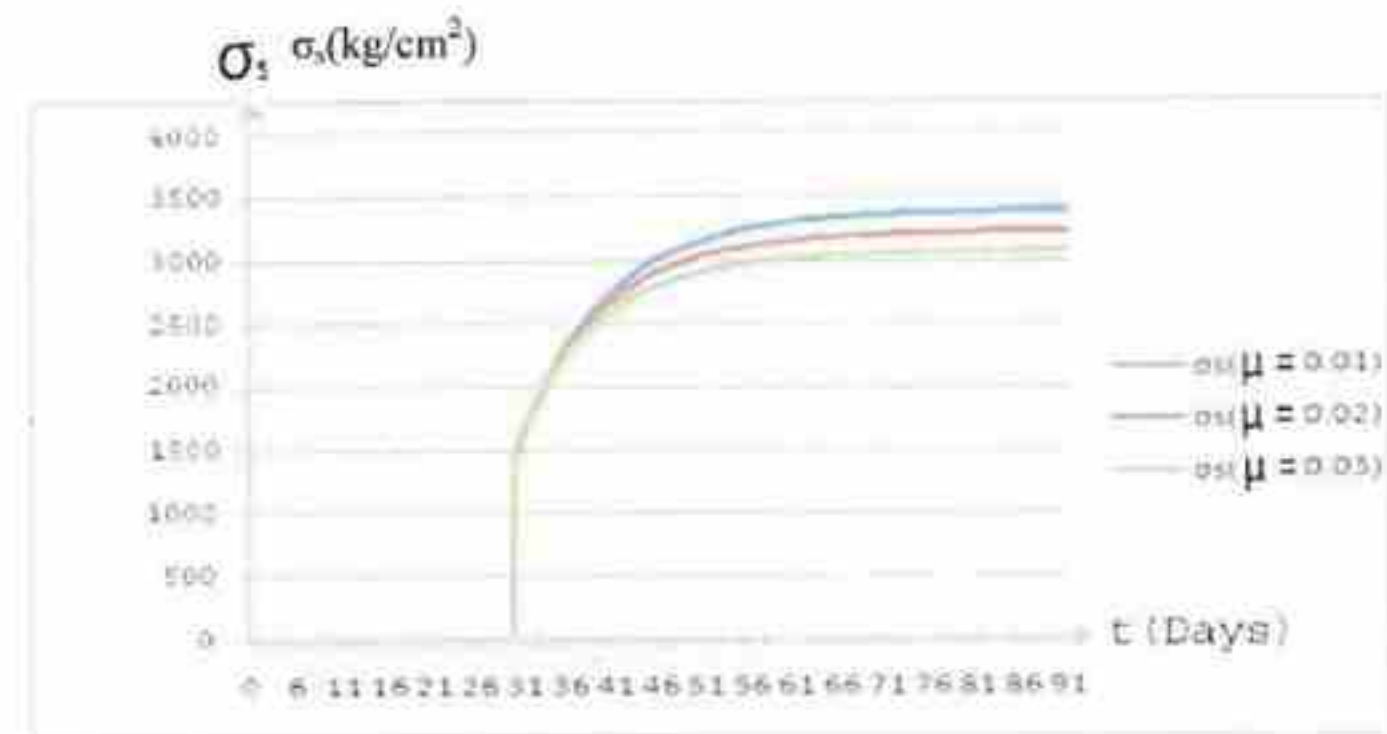
المخطط المنهجي لتعيين الوضعية الإجهادية في العناصر البيئونية المسئولة والناتجة عن الزحف
والاتكماش:



الشكل (٢) مدخلات المخطط المنهجي

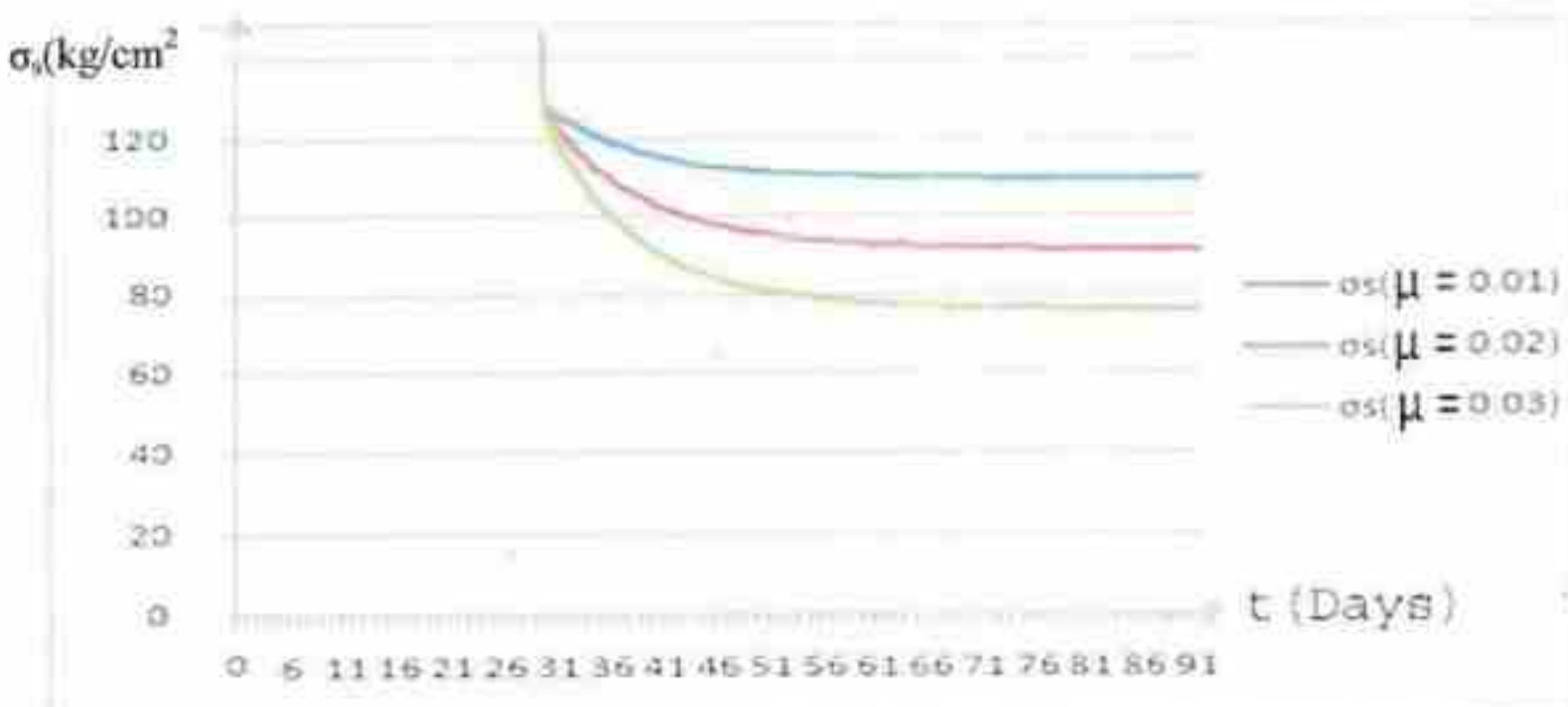


يبين الشكل (٤) تجلياً بيانياً لاجهادات الفولاذ مع الزمن في حالة الضغط المركزي، ونلاحظ أن الإجهادات في الفولاذ تتزايد بسرعة ثم تتحامد أو يحدث التهيار.



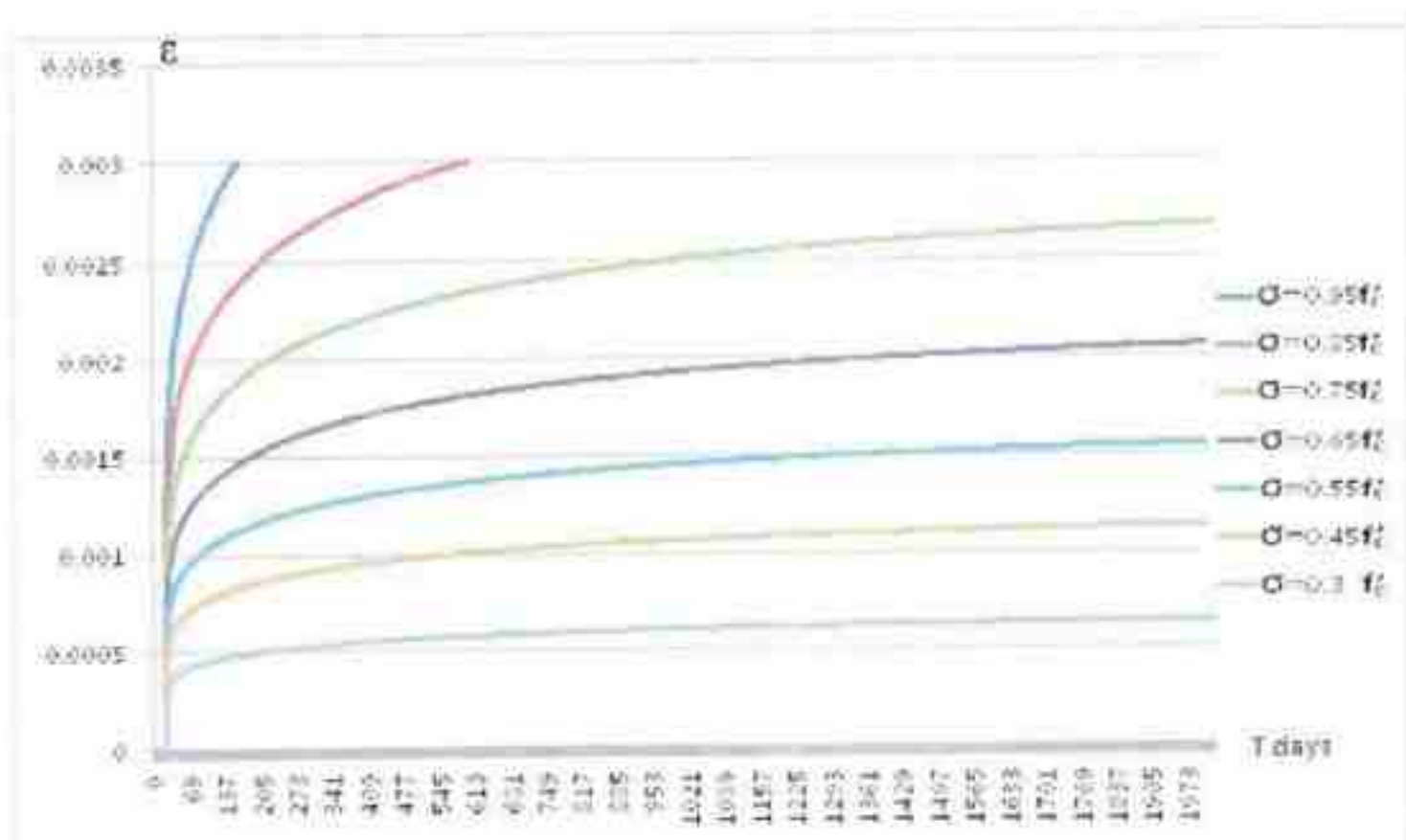
الشكل (٤) إجهادات الفولاذ مع الزمن في حالة الضغط المركزي

يبين الشكل (٥) تجلياً بيانياً لاجهادات البيتون مع الزمن في حالة الضغط المركزي، ونلاحظ أن اجهادات البيتون تتلاقص وتتزايد التشهيات مع الزمن.

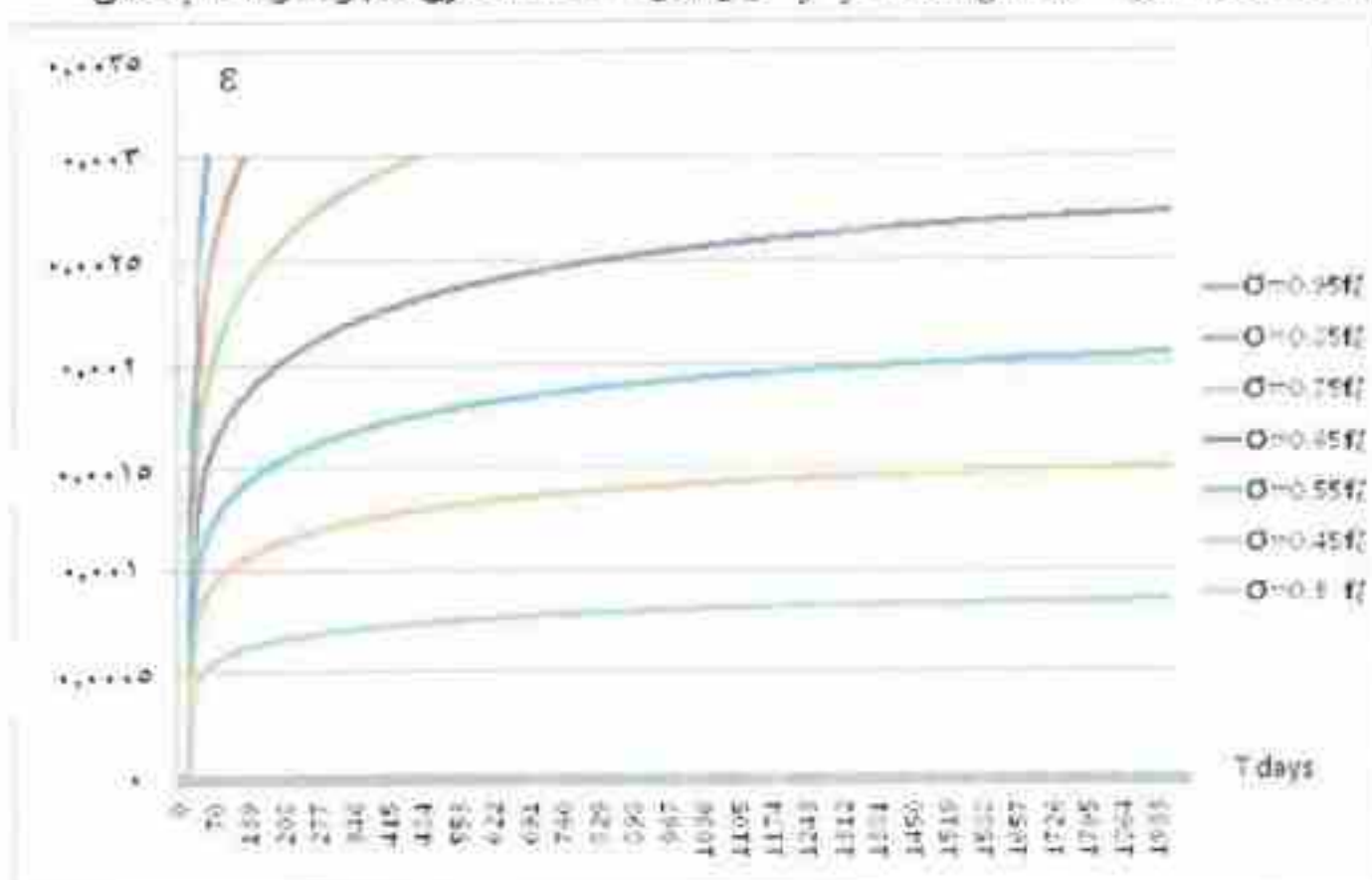


الشكل (٥) إجهادات البيتون مع الزمن في حالة الضغط المركزي

يبين الشكل (٦) تزيد تشوّهات الزحف في أعمدة بيتونية مسلحة معرضة لسويات مختلفة من الإجهاد بدء التحميل $T_0 = 28$ Days و المقاومة المعيّنة $f_c = 200 \text{ kg/cm}^2$ وفق الكود CEB-99 دون اعتبار تشوّهات الانكماش

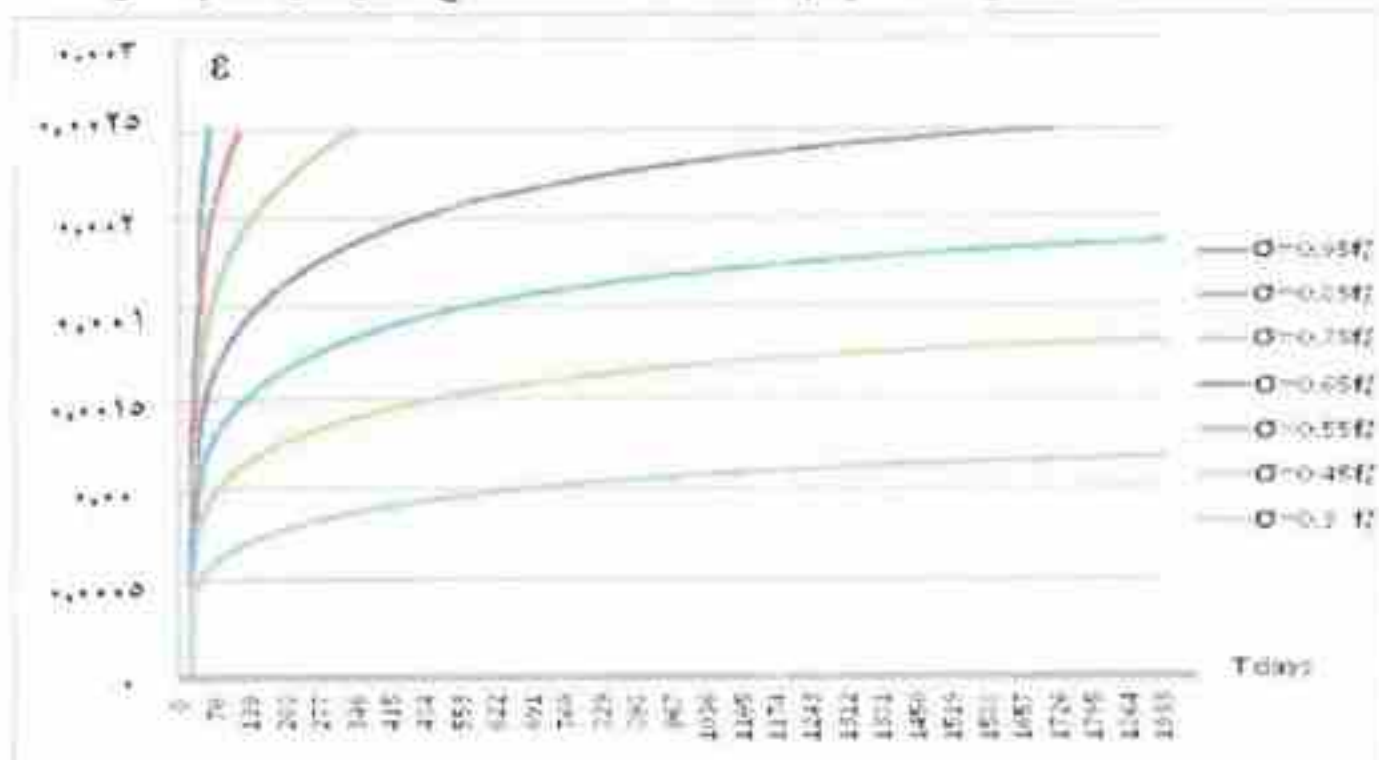


يُبيّن الشكل (٨) تشوّهات الزحف في أعمدة بيتونية مسلحة معرضة لسويات مختلفة من الإجهاد بدء التحميل Days $f_c' = 300 \text{ kg/cm}^2$ وفق الكود CEB-99 دون اعتبار تشوّهات الإكمان $T_0=28$ والمقاومة المميزة $\sigma = 0.25 \text{ f}_c'$



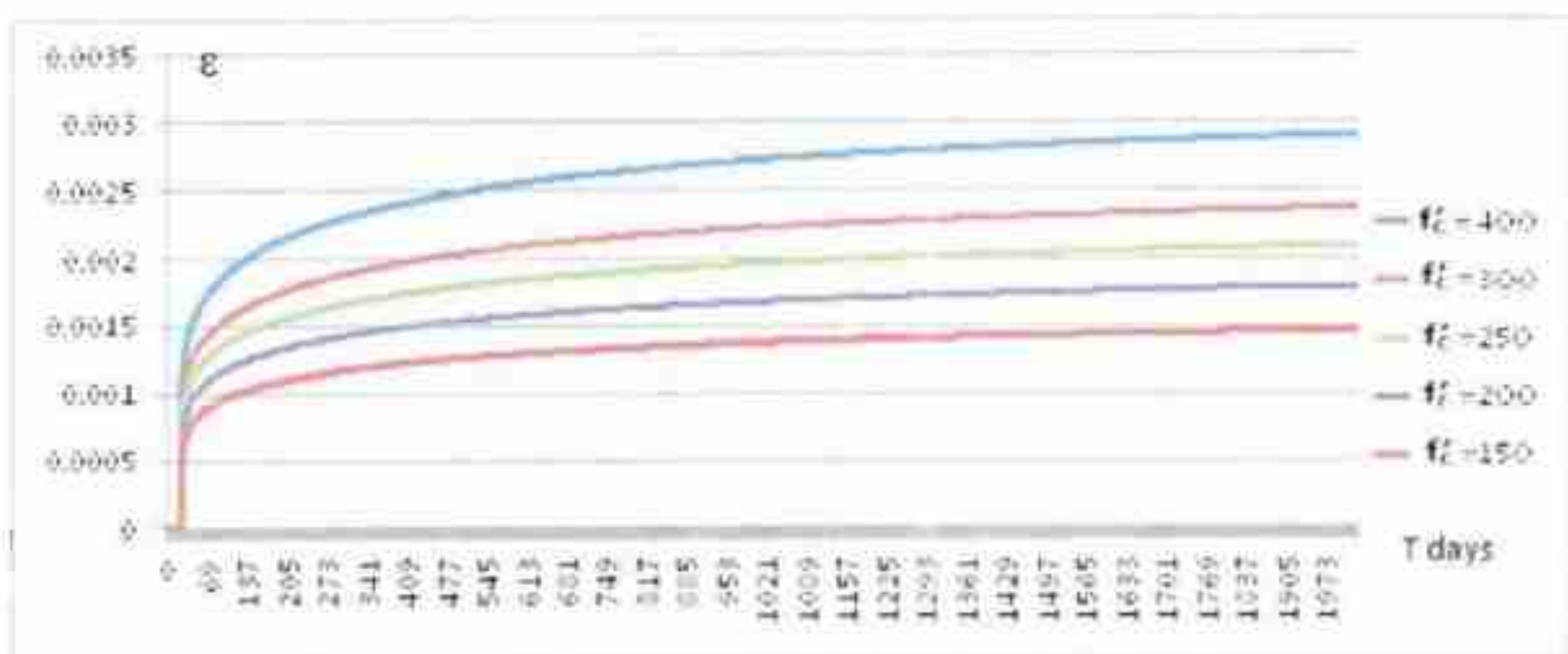
الشكل (٨) تشوّهات الزحف في أعمدة بيتونية مسلحة معرضة لسويات إجهاد محددة
 $f_c' = 300 \text{ kg/cm}^2$ $T_0=28$ Days $\mu=0.01$ No Shrinkage

يُبيّن الشكل (٩) تشوّهات الزحف في أعمدة بيتونية مسلحة معرضة لسويات مختلفة من الإجهاد بدء التحميل Days $f_c' = 300 \text{ kg/cm}^2$ وفق الكود CEB-99 مع اعتبار تشوّهات الإكمان $T_0=28$ والمقاومة المميزة $\sigma = 0.25 \text{ f}_c'$



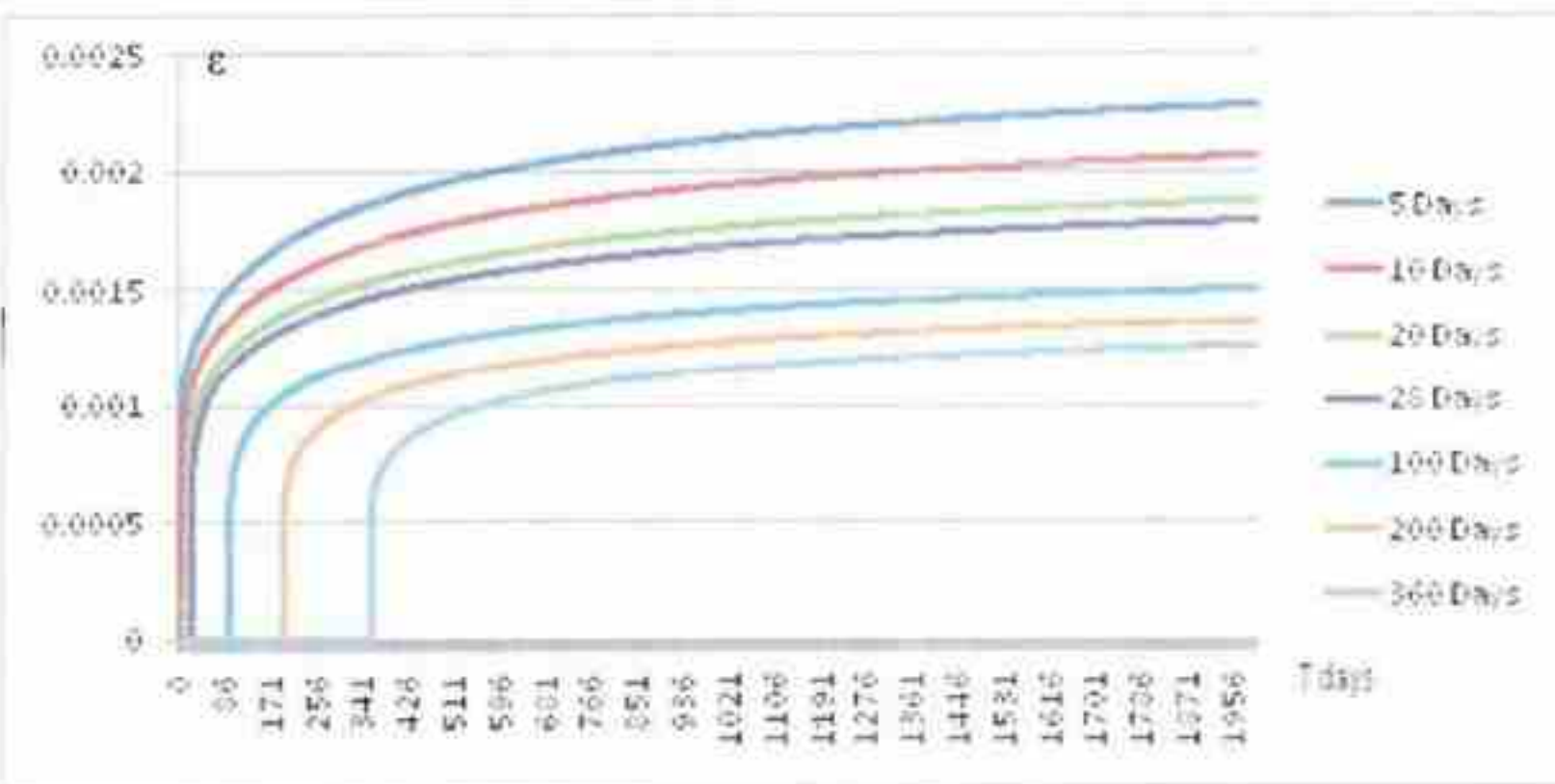
الشكل (٩) تشوّهات الزحف في أعمدة بيتونية مسلحة معرضة لسويات إجهاد محددة
 $f_c' = 300 \text{ kg/cm}^2$ $T_0=28$ Days $\mu=0.01$ With Shrinkage

يبين الشكل (١٠) تأثير تزايد المقاومة حيث للاحظ في الشكل تشوّهات الزحف في أعمدة بيتونية مسلحة مختلفة المقاومة عند عمر بدء التحميل $T_0=28$ Days و سوية إجهاد $\sigma_e = 0.6 f'_c$ وفق الكود CEB-99



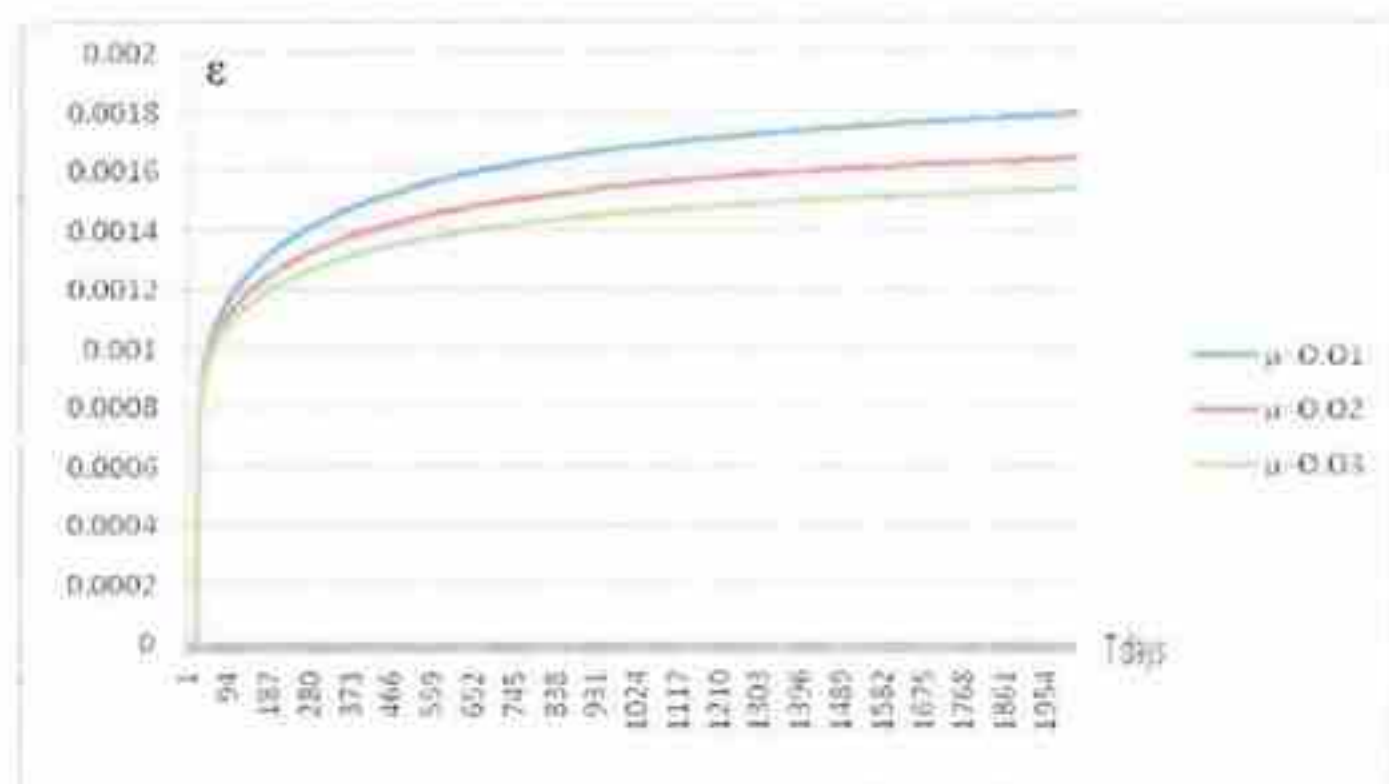
الشكل (١٠) تأثير تزايد المقاومة $\sigma_e = 0.6 f'_c$ $\mu=0.01$

يبين الشكل (١١) تأثير الزمن عند بدء التحميل حيث للاحظ في الشكل تشوّهات الزحف في أعمدة بيتونية مسلحة مع اختلاف عمر بدء التحميل وسوية إجهاد $\sigma_e = 0.6 f'_c$ وفق الكود CEB-99

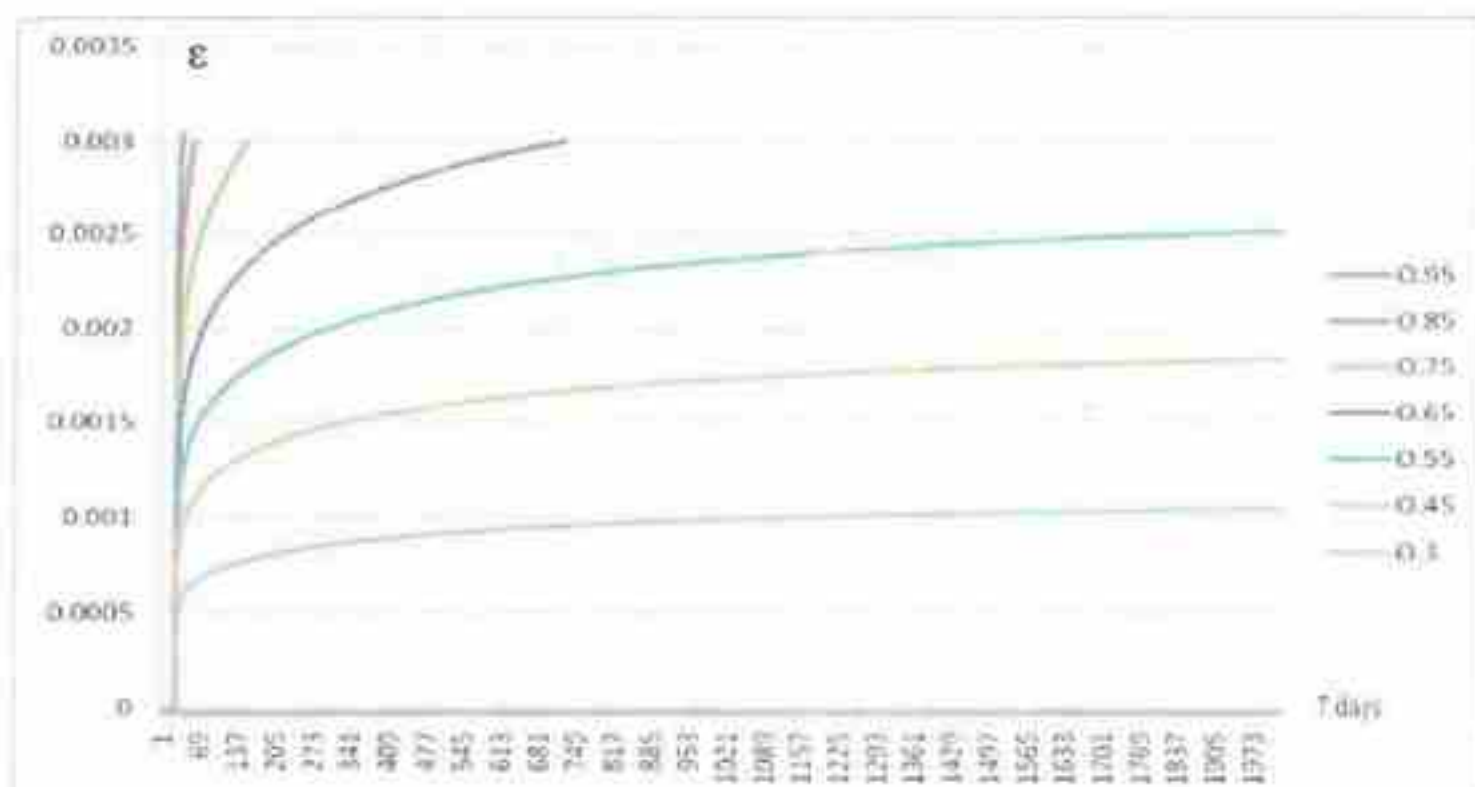


الشكل (١١) تأثير الزمن عند بدء التحميل $f'_c = 200 \text{ kgs/cm}^2$ $\mu=0.01$ $\sigma_e = 0.6 f'_c$

يُبيّن الشكل (١٢) تأثير نسبة التسليح حيث نلاحظ في الشكل تشوّهات الزحف في أعمدة بيتونية مسلحة بنسب تسليح مختلفة وسوية لجهاد $\sigma_c = 0.6 f'_c$ وصر بدء التحميل $T_0=28$

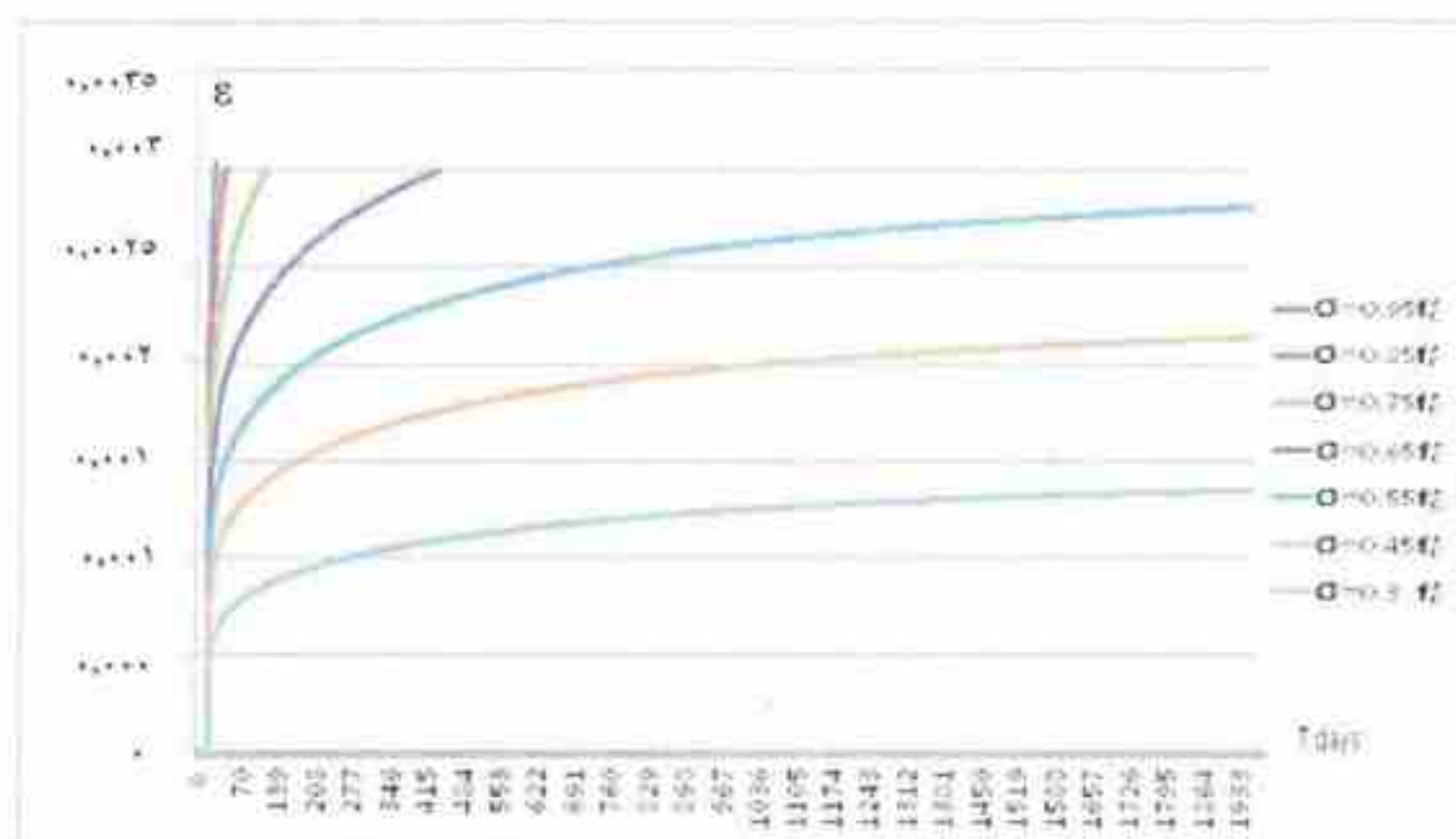


شكل (١٢) تأثير نسبة التسليح $\sigma_c = 0.6 f'_c$ $T_0=28$ $\mu=0.01, 0.02, 0.03$
يُبيّن الشكل (١٢) تأثير سويات المختلفة من الاجهاد دون اعتبار تشوّهات الإكمان حيث نلاحظ في الشكل تشوّهات الزحف في أعمدة بيتونية مسلحة معرضة لسويات مختلفة من الاجهاد بدء التحميل $T_0=28$ Days والمقاومة المعيّنة $f'_c = 400 \text{ kg/cm}^2$ وفق الكود CEB-99



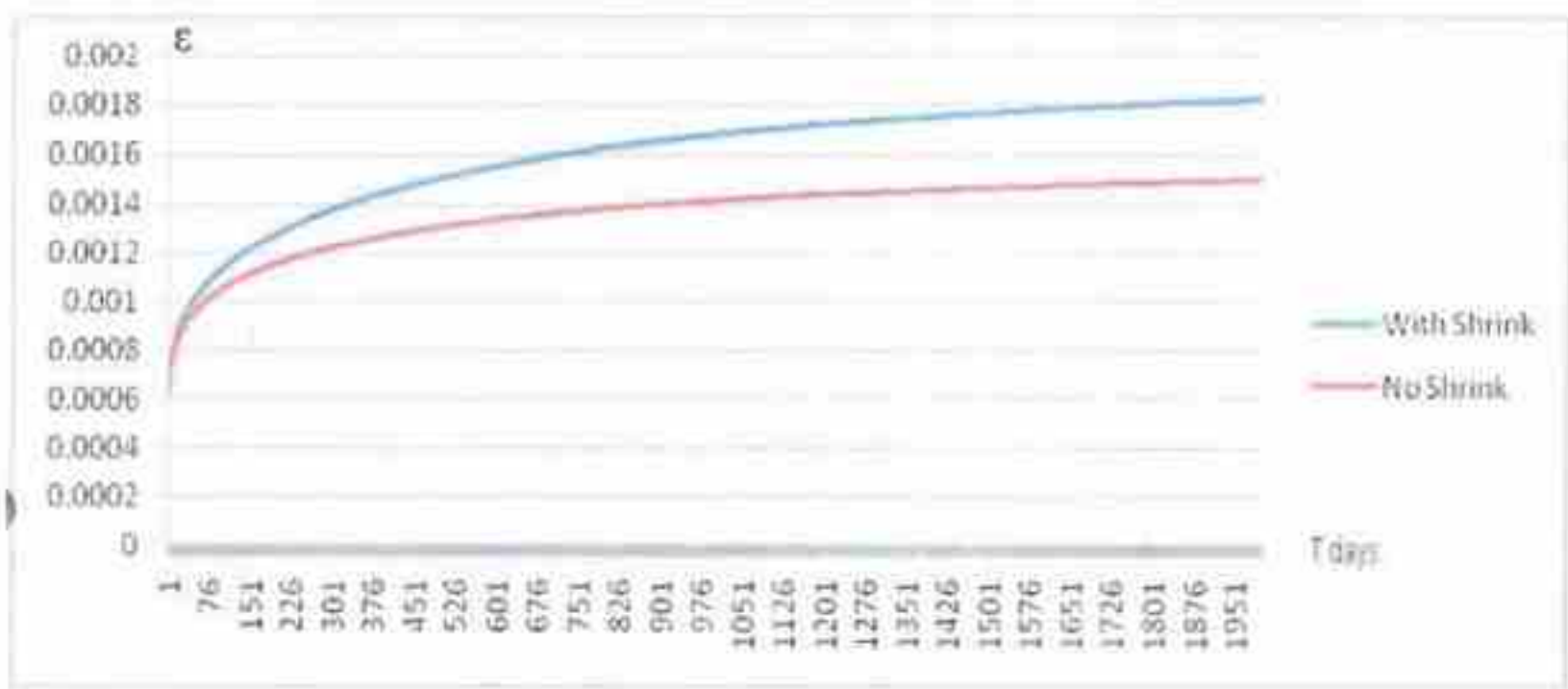
شكل (١٣) تأثير سويات المختلفة من الاجهاد دون اعتبار تشوّهات الإكمان
 $f'_c = 400 \text{ kg/cm}^2$ $T_0=28$ Days $\mu=0.01$

يبين الشكل (١٤) تأثير سويات المختلفة من الاجهاد مع اعتبار تشوّهات الإنكمائش حيث نلاحظ في الشكل تشوّهات الزحف في أصددة بيتونية مسلحة معرضة لسويات مختلفة من الاجهاد بدء التحميل $T_0=28$ Days والمقاومة المميزة $f_c' = 400 \text{ kg/cm}^2$ وفق الكود CEB-99.



الشكل (١٤) تأثير سويات المختلفة من الاجهاد دون اعتبار تشوّهات الإنكمائش
 $f_c' = 400 \text{ kg/cm}^2 \quad T_0=28 \text{ Days} \quad \mu=0.01 \text{ With Shrinkage}$

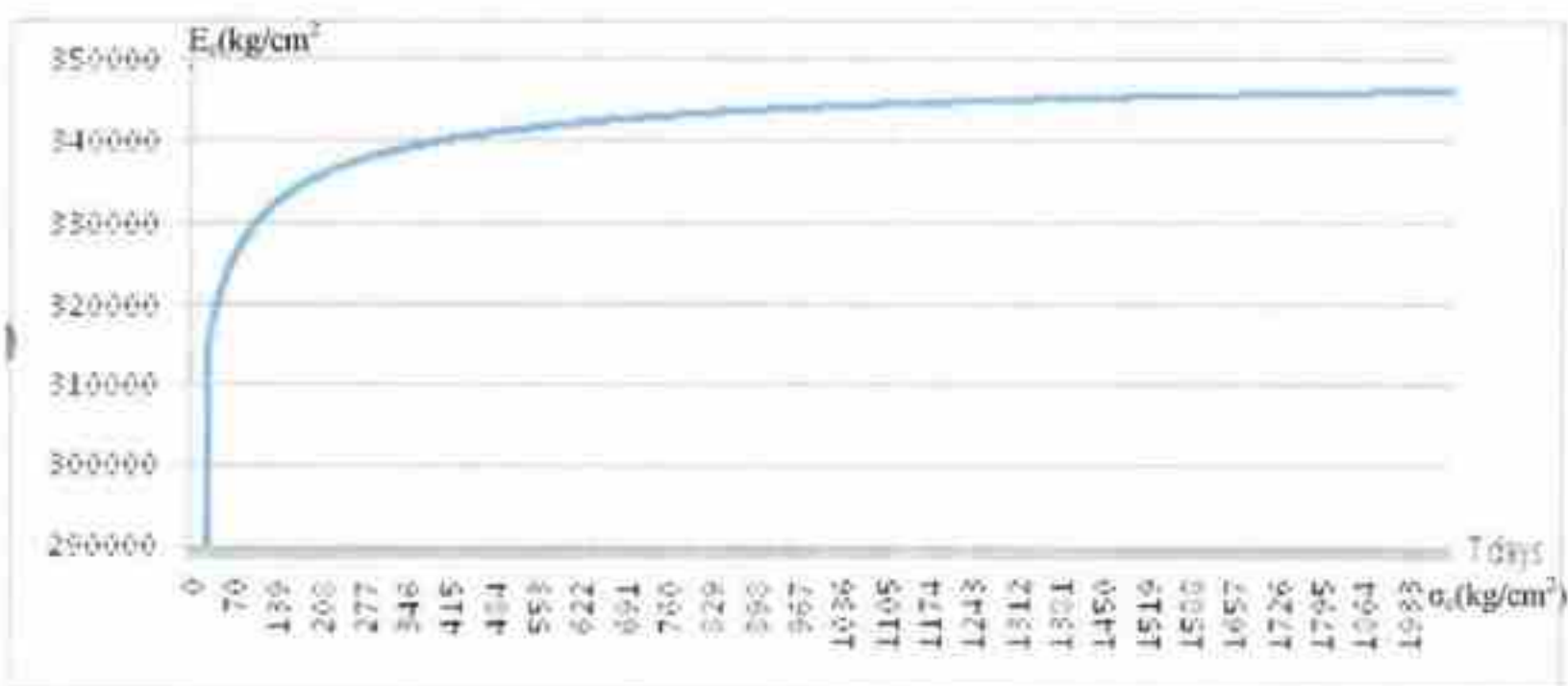
يبين الشكل (١٥) تأثير تشوّهات الانكماش حيث نلاحظ في الشكل تشوّهات الزحف في أصددة بيتونية مسلحة معرضة لسورية إجهاد $\sigma_c = 0.6 f'_c$ بدء التحميل $T_0 = 28 \text{ Days}$ والمقاومة المعيّنة $f'_c = 300 \text{ kg/cm}^2$ وفق الكود CEB-99 مع وبدون اعتبار تشوّهات الانكماش



شكل (١٥) تأثير تشوّهات الانكماش

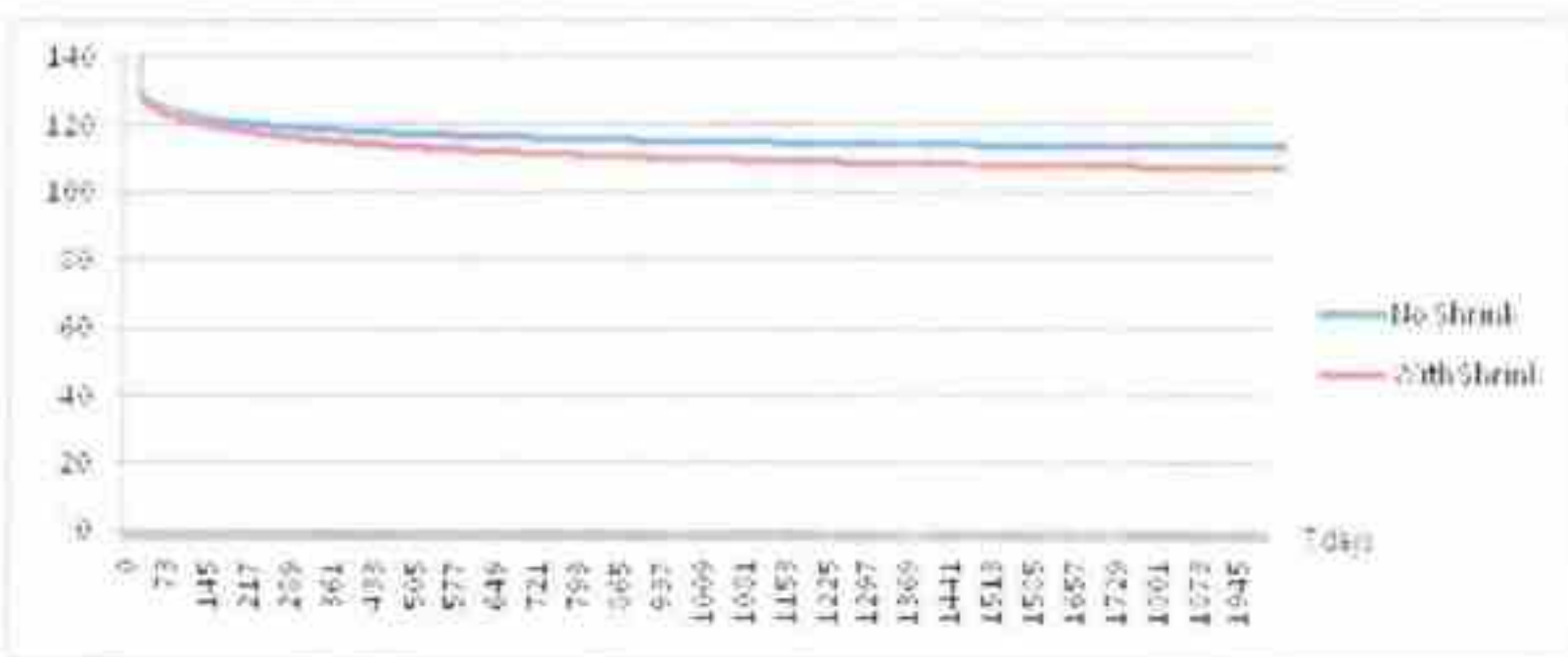
$$f'_c = 300 \text{ kg/cm}^2, T_0 = 28 \text{ Days}, \mu = 0.01, \sigma_c = 0.45 f'_c$$

يبين الشكل (١٦) تزايد عامل المرونة مع الزمن مع ثبات المقاومة المعيّنة $f'_c = 300 \text{ kg/cm}^2$



شكل (١٦) تزايد عامل المرونة مع الزمن

وين الشكل (١٧) تأثير تشوهات الانكمash على تطور الإجهادات في البلاطون في عصود بيتوتي مسلح



الشكل (١٧) تأثير تشوهات الانكمash على تطور الإجهادات في البلاطون في عصود بيتوتي مسلح

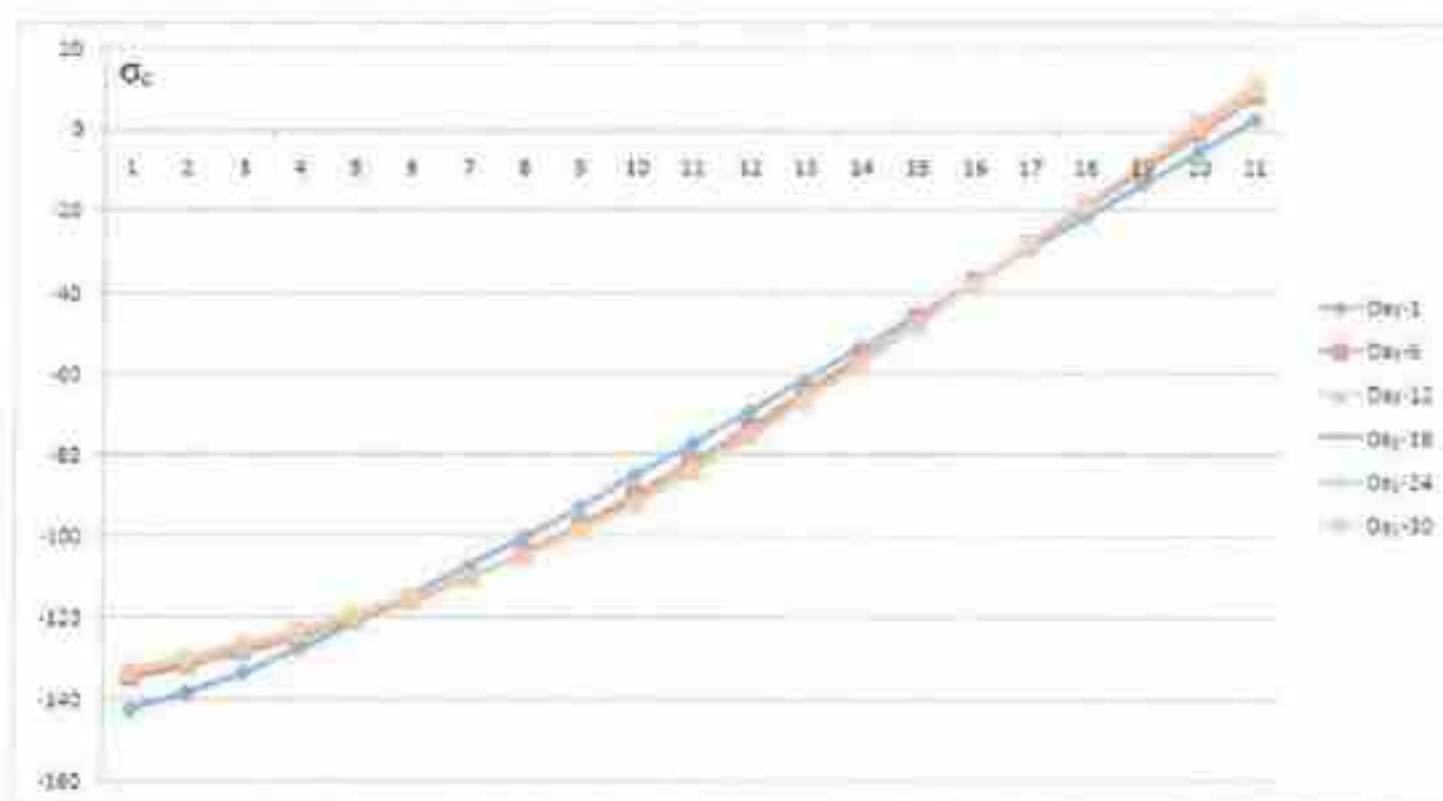
الطريقة العددية في تعين الوضعية الإجهادية في العناصر البيئونية المسلحه والذاتية عن الزحف والإكمامش والمعرضة للضغط اللا مركزى:

تم هذه الدراسة وفق المخطط التدفقى المبين في الشكل (٢) وتتجزأ الدراسة وفق المراحل التالية :

- ١- إدخال شكل المقطع العرضي ويمكن أن تعتمد مجموعة من النماذج للمقاطع العرضية المعروفة
 - ٢- إدخال أبعاد المقطع العرضي
 - ٣- إدخال مقاطع ومواقع التسلیح العادي وعامل مرونته و مواقع التسلیح مسبق الإجهاد وعامل مرونته في حال المقطع مسبق الإجهاد
 - ٤- إدخال مواصفات البيتون E_f ، عمر البيتون عند التحميل
 - ٥- إدخال القوى المطبقة N و M
 - ٦- حساب الخواص الهندسية للمقطع العرضي
 - ٧- حساب الإجهادات الناظمية في المقطع العرضي
 - و في حال وجود إجهادات شد تزيد عن مقاومة المقطع المستدق بعد حساب الخواص الهندسية للمقطع العرضي وتعين الإجهادات في المقطع العرضي المار من الشق
 - ٨- تعين تشوّهات الزحف والإكمامش في المرحلة الزمنية الأولى Δt باعتبار القوى الداخلية ثابتة في هذه المرحلة
 - ٩- تطبق تشوّهات الزحف والإكمامش كتشوهات قسرية على المقطع
 - في حال زيادة الإجهاد الناظمى في المقطع العرضي المدرس عن $0.4 E_f$ فإن تشوّهات الزحف اللامخطية تعين مع اعتماد الصيغة (٥)
 - في حال وجود تشوّهات زحف لا خطية فإن هذه التشوّهات القسرية تؤول إلى توزع لا خطى للإجهادات في المقطع العرضي وتعين N_{fix} قوة التثبيت ووزم التثبيت M_{fix} الناتج عن التشوّهات القسرية. ومن ثم تعين تزايد الإجهادات الإضافية في البيتون والفولاذ والذاتية عن الزحف والإكمامش في المرحلة الزمنية المدرسدة
 - يتم التأكيد من أن تزايد القوى الداخلية في الفولاذ والتسلیح والذاتية عن الزحف والإكمامش متوازنة
 - تحسب الضبابات في نهاية الفترة الزمنية المدرسدة Δt وتحسب الإجهادات في المقطع العرضي في نهاية Δt مع اعتبار الضبابات وقوى سبق الإجهاد والقوى الخارجية المطبقة
 - تنتقل إلى مرحلة زمانية جديدة Δt
 - يتوقف البرنامج وتطيع النتائج في إحدى الحالات التالية :
- ١- زيادة تشوّهات في المرحلة Δt متأخرة في الصغر وكذلك فإن تغير الإجهادات صغير جداً وهذا يعني تخدام تشوّهات الزحف دون انتهاه في العنصر (في المنطقة المضغوط)
 - ٢- تزايد الإجهادات في الفولاذ حتى حد الزحف في الفولاذ المستخدم $2100 \text{ kg/cm}^2 = f_r$ للفولاذ الأملس و $4200 \text{ kg/cm}^2 = f_r$ للفولاذ الملحزن (في المقطع المضغوط)

٢- بلوغ تشوّهات الزحف والإنكماش في المقطع العرضي الحد الأعظمي لتشوهات البيتون ٣٠٠٠ واعتبار البيتون منهاراً في الشريحة الطرفية المصبوطة إن مخطط الإجهادات يتحول من مستقيم إلى منحنٍ وندَر في الشكل (١٨) تطور مخطط الإجهادات في عنصر بيتوبي مسلح معرض لضغط اهتزازي نتيجة الزحف. ولقد اعتمد في حساب تشوّهات الزحف الخطبة العلاقة (٤) وتشوّهات الزحف اللا خطية العلاقة (٥).

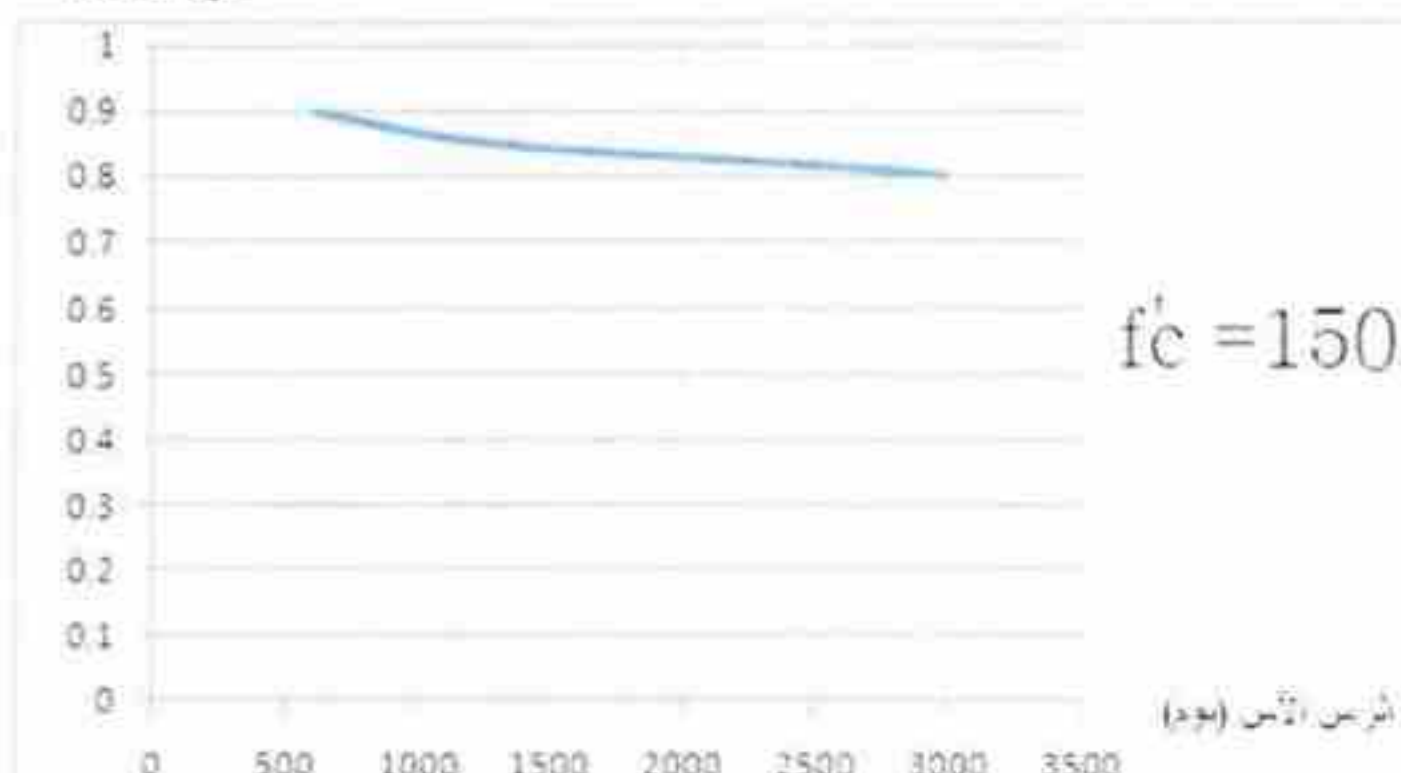
يبين الشكل (١٨) تطور مخطط الإجهادات في عنصر بيتوبي مسلح معرض لضغط اهتزازي نتيجة الزحف



الشكل (١٨) تطور مخطط الإجهادات في عنصر بيتوبي مسلح معرض لضغط اهتزازي نتيجة الزحف

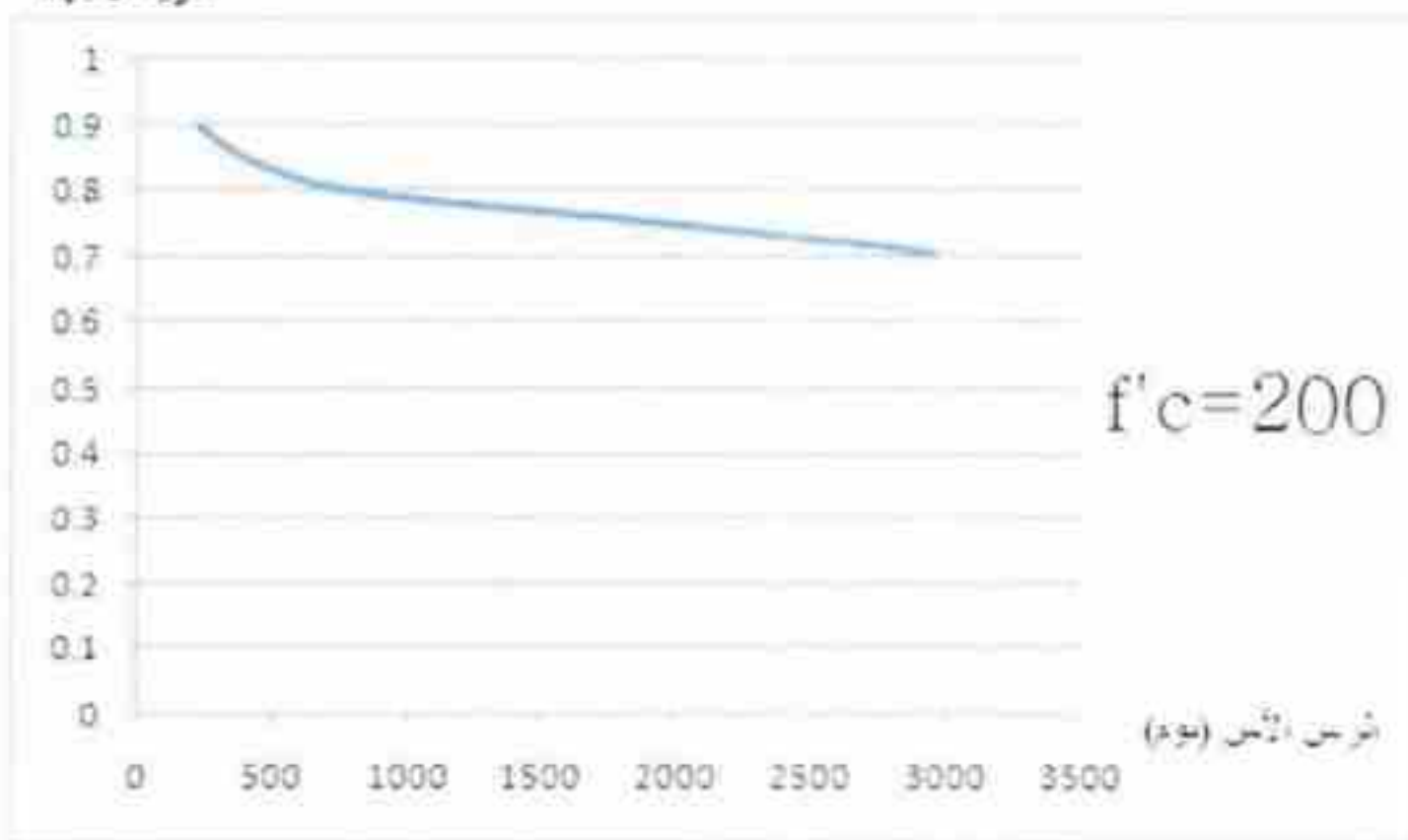
ندرج فيما يلي منحنيات تبين الزمن الآمن بالأيام مع سويات الاجهاد لمختلف المقاومات المستخدمة

سوية الاجهاد



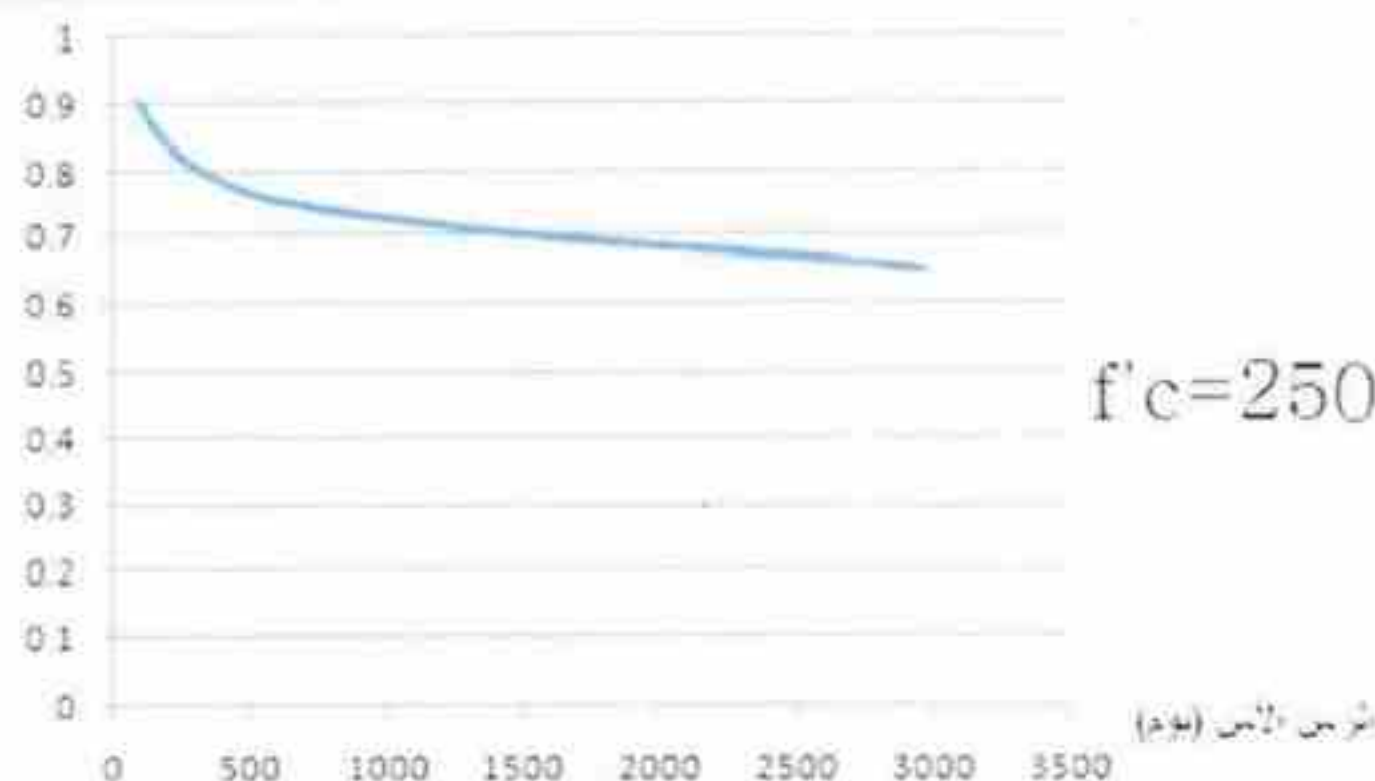
الشكل (١٩) الزمن الآمن للمقاومة المعيّنة $f'c = 150 \text{ kg}/\text{cm}^2$

سوية الاجهاد



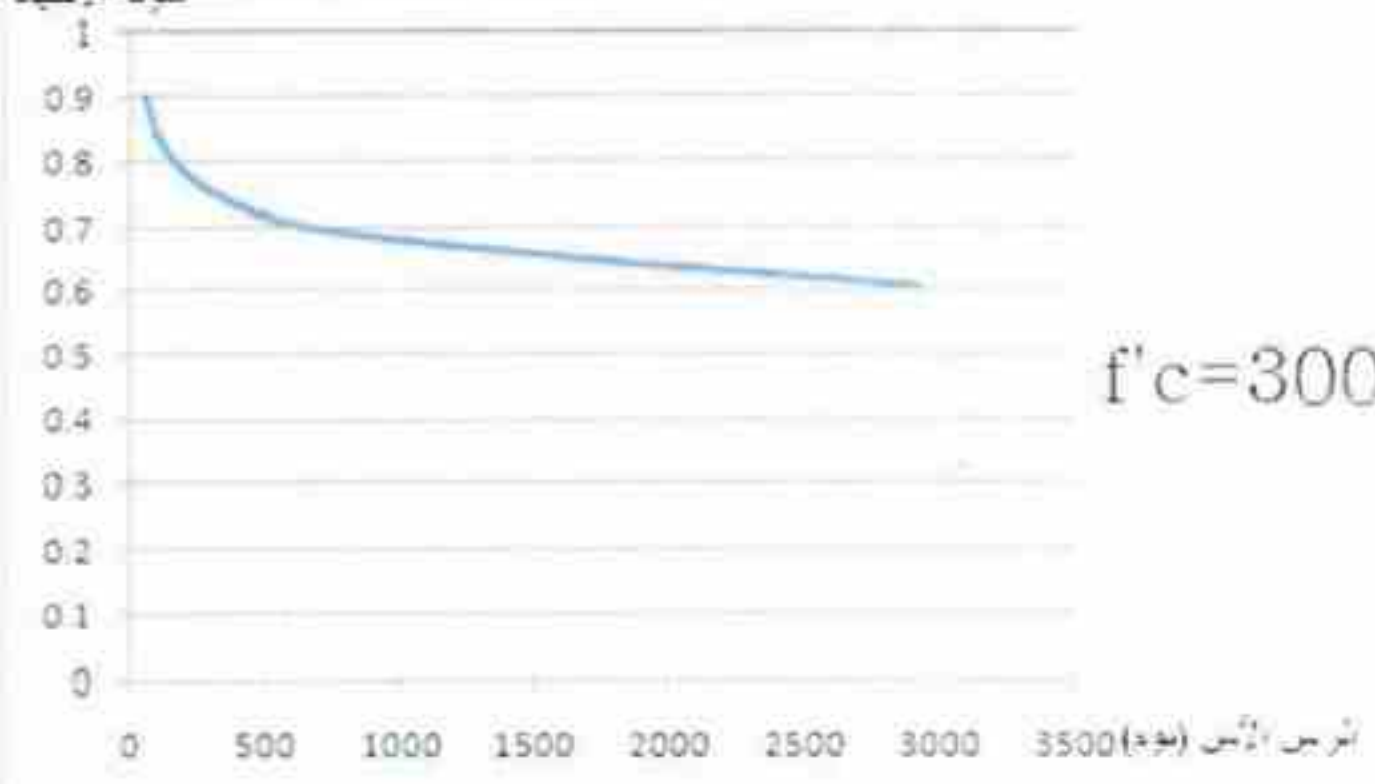
الشكل (٢٠) الزمن الآمن للمقاومة المعيّنة $f'c = 200 \text{ kg}/\text{cm}^2$

سوية الاجهاد



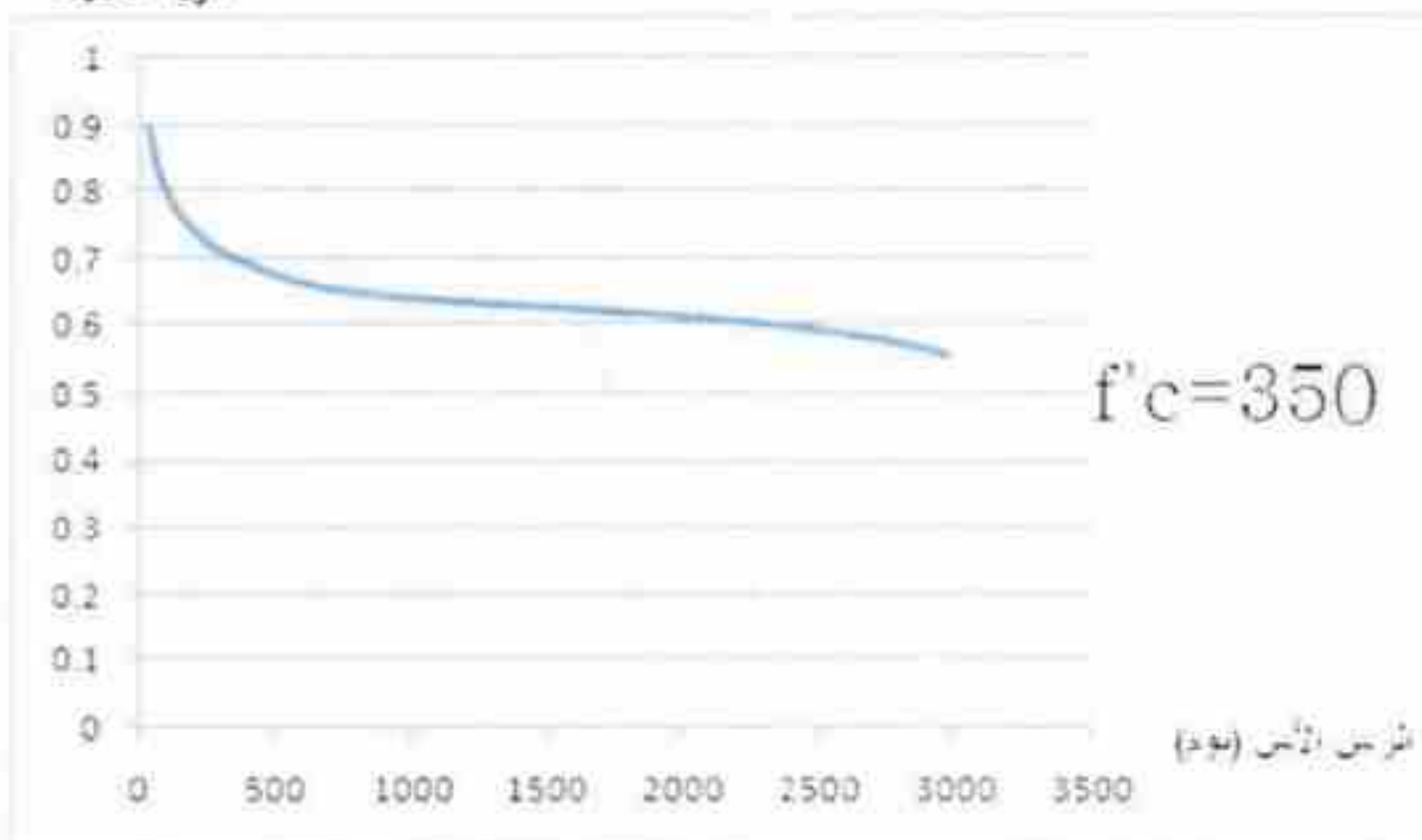
الشكل (٢١) الزمن الآمن للمقاومة المعيزة $f'c = 250 \text{ kg/cm}^2$

سوية الاجهاد



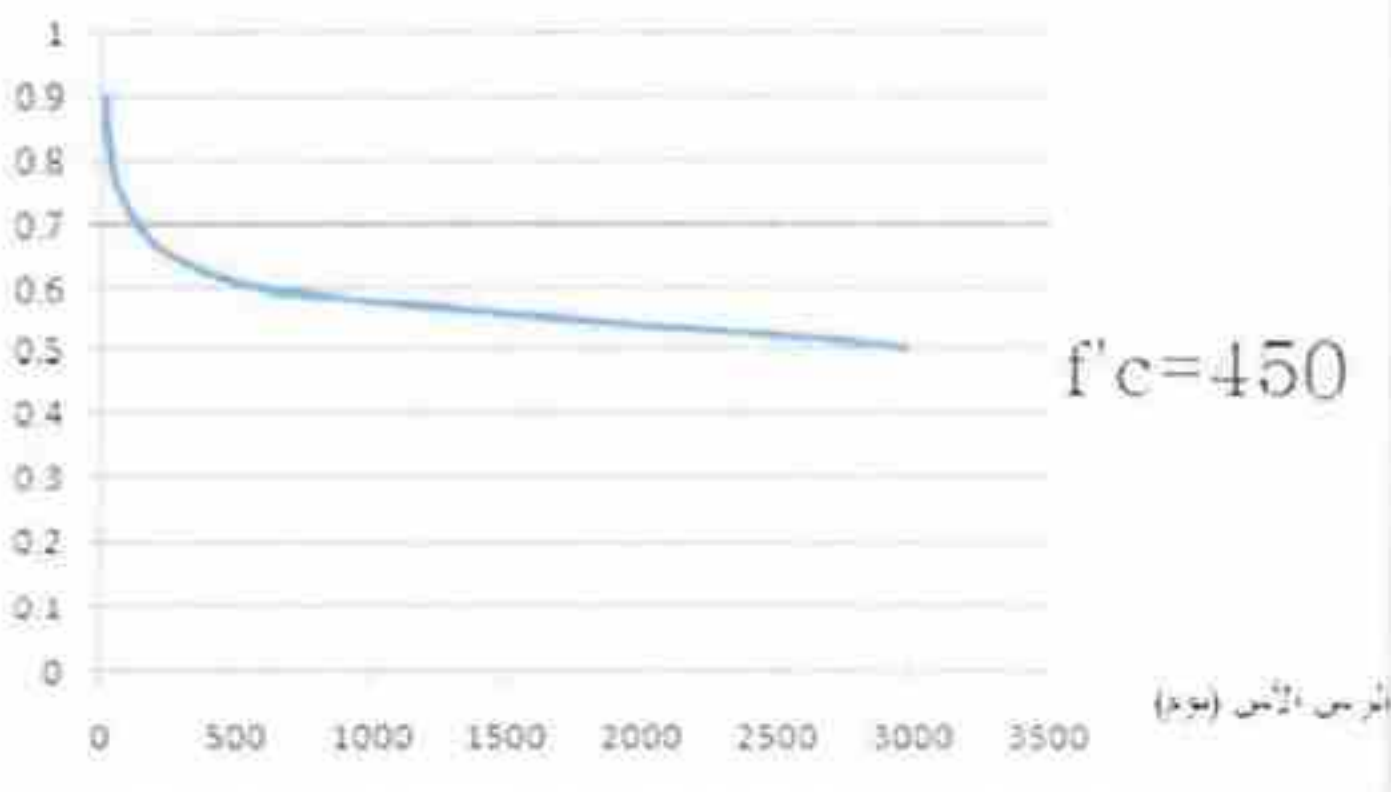
الشكل (٢٢) الزمن الآمن للمقاومة المعيزة $f'c = 300 \text{ kg/cm}^2$

سوية الإجهاد



الشكل (٢٣) الزمن الآمن للمقلومة المعيّنة $f'c = 350 \text{ kg/cm}^2$

سوية الإجهاد



الشكل (٤) الزمن الآمن للمقلومة المعيّنة $f'c = 450 \text{ kg/cm}^2$

النتائج والتوصيات:

١. إن تشوّهات السيلان تؤدي إلى انهيار في الأعده المعرضة لاجهادات عالية بعد فترة زمنية محدودة، ويتزايد هذا الخطير مع العوامل التالية :
 - ▶ تحمل البيتون في عمر مبكر
 - ▶ تزايد في قيمة الاجهادات الفعلية أكبر من المقاومة المعيبة للبيتون
 - ▶ تناقص نسبة التسلیح
٢. إن تشوّهات السيلان اللاخطية المرافقه لاجهادات عالية $0.6 \geq \frac{\sigma}{f}$ غير معينة في الكودات العالمية وتتطلب دراسة تجريبية موسعة لاعتماد صيغ رياضية تجريبية للتنبؤ بقيمها.
٣. إن تشوّهات السيلان اللا خطية تسبّب نظراً في الوضعية الاجهادية للعناصر المعرضة للمضغوط اللامركزي يؤدي إلى تحول توزيع الاجهادات في المقطع العرضي من خطى إلى لا خطى.
٤. إن تشوّهات السيلان والانكماس تؤدي إلى وضعية اجهادية متغيرة مع الزمن يرافقها تناقص الاجهادات في البيتون ويتزايداً في الفولاذ
٥. إن دراسة الوضعية الاجهادية الناتجة عن السيلان والانكماس بالطريقة العدبية هي الأمثل والأبسط ويمكن اعتماد أي نموذج رياضي للتنبؤ بالسيلان والانكماس مهما بلغ تعقيده
٦. إن المنشآت المتصدعة والتي تزيد فيها الاجهادات عن $0.75 \geq \frac{\sigma}{f}$ هي منشآت أيلة للسقوط ويجب إخلاؤها والإكفاء بمراقبتها عن بعد
٧. إن الطرائق الرياضية الحالية في حل المعادلات التكاملية الواسعة للوضعية الاجهادية الناتجة عن السيلان والانكماس غير كافية لاعتماد التمادج الرياضية المعتمدة في الكودات العالمية للتنبؤ بالسيلان والانكماس

المراجع الأجنبية :

- 1- A. Al Manaseer, B. Espion, F.J. Olm., 1991- **Conclusions: ACI Paris Chapter Workshop on Creep and Shrinkage in Concrete Structures.** eds. F.J. ulm, M. Prat, J. A. Calgaro and I Card Revue Francaise de Hemes Science, Publication, Paris, 15-19 P.
- 2- ACI committee209 , 2008- **ACI209.2R-08 Guide for modeling and calculating shrinkage and creep in hardened concrete** —May 2008.
- 3- Baweja S., Dvorak G.J., Bazant Z.P. Triaxial.,1998- **Composite Model for Basic Creep of Concrete** Journal of Engineering Mechanics, Vol. 124, No. 9, September 1998, 959-965 P.
- 4- Comité Euro-International du Béton , 1990- **CEB-FIP Model Code 1990**. CEB Bulletin d'Information, No. 213/214, Lausanne, Switzerland.
- 5- GHALI, A., FAVRE, R., 1986-**Concrete Structures: Stresses and Deformations**,Chapman and Hall
- 6- Kawano Akihiko, Warner R.F.,1995- **Model Formulations for Numerical Creep Calculations for Concrete** //Journal of Materials in Civil Engineering, Vol. 7, No. 2, May 1995, 284-290 P.
- 7- MÜLLER, H.S., KÜTTNER C.H., 1995- **Characteristics and Prediction of Creep of High Performance Concrete**. Proc. Of the 4th Weimar Workshop on High Performance Concrete, High Performance Concrete: Material Properties and Design, eds. F H. Wittmann and P. Schwindiger, AEDIFICATIO Verlag, Freiburg und Unterengstringen, 145-162 P.
- 8- OLITSKI, I. I., Mear Publisher 1998-**Theory and Calculation of Reinforced Concrete due to long time effect** . 1967.
- 9- Yamamoto T.,1990- **Creep and shrinkage of high-strength reinforced concrete columns** .//Transactions of Japan concrete Institute, Vol. 12, 101-106 P.

المراجع العربية :

- 10 - نقابة المهندسين . ٢٠٠٤ - التكود العربي السوري لتصميم وتنفيذ المنشآت بالخرسانة المستحقة. الطبعة الثالثة، الجمهورية العربية السورية دمشق.

